

# Schalltechisches Gutachten gemäß FGW TR.1 zur Windenergieanlage ENERCON E-82 Ser.-Nr.: 823620, im Windpark Weibern-Rieden

- Betrieb I (2.000 kW) -

Messung 2014-02-14 Vollständiger Bericht 2014-03-18

SE12028B3





Dipl.-Ing. David Rode Gruppenleiter

# Schalltechisches Gutachten gemäß FGW TR.1 zur Windenergieanlage ENERCON E-82 Ser.-Nr.: 823620, im Windpark Weibern-Rieden

- Betrieb I (2.000 kW) -

#### Bericht SE12028B3

Standort bzw. Messort:	Weibern-Rieden, WEA 11, Ser-Nr. 823620				
	DunoAir Windpark Pl	anung GmbH	1		
Auftraggeber:	Brotstrasse 1				
	D-54290 Trier				
	windtest grevenbroic	n gmbh			
Auftragnehmer:	Frimmersdorfer Str. 73a				
	D-41517 Grevenbroich				
	•				
Datum der	2012-10-02	Auftragsn	ıımmer	12 0168 07	
Auftragserteilung:	2012-10-02	Aditiagsii	diffilition.	12 0100 07	
Prüfer:			F	Bearbeiter:	
Fluiei.				20010011011	
Tudik gal				in M	

Grevenbroich, 2014-03-18

Dipl.-Ing. Frederik\Gast

Projektleiter

Dieser Bericht darf auszugsweise nur mit schriftlicher Zustimmung der windtest grevenbroich gmbh vervielfältigt werden. Er umfasst insgesamt 37 Seiten inkl. der Anlagen.



	2	ABENSTELLUNG	
2	DURC	HFÜHRUNG DER MESSUNG	4
	2.1 Messv	erfahren	4
		bjekt	
	2.3 Messo	rt	5
	2.4 Messai	ufbau	5
	2.5 Messal	blauf	8
	2.6 Meteor	ologische Bedingungen	8
3	MESS	ERGEBNISSE	8
		tives Geräuschempfinden	
	3.2 Richtel	narakteristik	8
		druckpegel	
		sionsrelevanter Schallleistungspegel	
		haltigkeit	
		on Einzelereignissen	
	3.7 Tonhal	tigkeitsanalyse	14
	3.7.1 3.7.2	Verfahren der Tonhaltigkeitsanalyse Ergebnisse der Tonhaltigkeitsanalyse	14
		enzintensität	
		szustand während der Messung	
4		UNSICHERHEIT	
		nsicherheit Typ A	
		nsicherheiten Typ B	
	4.3 Abschä	itzung der Gesamtmessunsicherheit U <sub>c</sub>	17
	4.4 Messui	nsicherheiten für Tonhaltigkeiten	17
	4.5 Messur	nsicherheiten für Terzspektren	17
5	ABWE	ICHUNGEN ZUR RICHTLINIE FGW TR.1	. 18
6	ZUSAN	MMENFASSUNG	. 19
7	LITER	ATURVERZEICHNIS	. 20
8		EICHNIS DER VERWENDETEN FORMELZEICHEN UND ABKÜRZUNGEN	
9		BEITUNGSVERLAUF	
10		NG	
Α	nhang 1	Lageplan	
A	nhang 2	Herstellerbescheinigung	
A	nhang 3	Leistungskennlinie	
Αı	nhang 4	Oktav- und Terzspektrum	
- •		and one of the original of the origina	

Anhang 5 Schmalbandspektren



# 1 Aufgabenstellung

Die windtest grevenbroich gmbh (wtg) wurde 2012-10-02 von DunoAir Windpark Planung GmbH beauftragt, die charakteristische Geräuschabstrahlung der Windenergieanlage (WEA) E-82 mit einer Nabenhöhe von H = 108,4 m inkl. Fundament im leistungsoptimierten Betrieb I (2.000 kW) mit dem Standort Weibern-Rieden gemäß der aktuellen Technischen Richtlinie Teil 1 zu erfassen.

# 2 Durchführung der Messung

#### 2.1 Messverfahren

Die Mess- und Beurteilungsmethoden basieren auf der Technischen Richtlinie für Windenergie- anlagen, Teil 1 "Bestimmung der Schallemissionswerte" [1], Revision 18, Stand 2008-02-01. Gemäß dieser Richtlinie ist die Tonhaltigkeitsauswertung entsprechend der IEC 61400-11 [2] durchzuführen und nach DIN 45681 [3] mit einem Tonzuschlag  $K_{\text{TN}}$  zu bewerten.

Angegeben werden der immissionsrelevante Schallleistungspegel sowie die Ton- und Impulshaltigkeit im Nahfeld der WEA im Bereich von 6 m/s bis 10 m/s in 10 m Höhe (und evtl. bei 95 % der Nennleistung, sofern diese unterhalb einer Windgeschwindigkeit von 10 m/s in 10 m Höhe erreicht wird).

### 2.2 Messobjekt

Beim zu vermessenden Objekt handelt es sich um eine im Dauerbetrieb betriebene Windenergieanlage des Typs E-82.

Akustisch betrachtet setzt sich eine WEA aus mehreren Einzelschallquellen zusammen. Zu nennen sind hier z. B. Komponenten wie Generator, Getriebe und Hydraulikpumpen (falls vorhanden), Transformatoren und Umrichter, welche sowohl über die Öffnungen im Maschinenhaus und im Turm direkt, als auch durch Körperschallübertragung über Maschinenhaus, Blätter und Turm Geräusche abstrahlen. Diese Geräusche können tonhaltig sein.

Aerodynamisch bedingte Geräusche, verursacht durch die Rotation der Rotorblätter, stellen eine weitere wesentliche Schallquelle dar. Diese Geräusche sind in der Regel breitbandig und in erster Linie von der Blattspitzengeschwindigkeit und den Blattprofilen bzw. dem Regelverhalten (Pitch oder Stall) abhängig.

Die vermessene WEA weist die in der Tab. 1 dargestellten Eigenschaften auf. Detaillierte Angaben finden sich in der Herstellerbescheinigung im Anhang.

Tab. 1: Technische Daten der Windenergieanlage



Hersteller	ENERCON GmbH	
WEA-Typ	E-82	
Seriennummer	823620	
Standort	Weibern-Rieden	
		NOT THE REAL PROPERTY.

Nennleistung 2.000 kW Leistungsregelung pitch Nabenhöhe ü. Grund 108,4 m

zylindrisch- konischer **Turmbauart** Stahl- und Stahlbetonturm

Anordnung Rotorblätluv ter zum Turm Anzahl der Rotorblätter 3 Rotordurchmesser 82 m Blatt-Typ E-82-1CFK

6 - 18 min<sup>-1</sup> (Rotor) Getriebe-Typ entfällt E-82 Generator-Typ (Synchrongenerator)



Abb. 1: WEA E-82 (823620)

#### 2.3 Messort

Drehzahlbereich

Die WEA befindet sich mit weiteren WEA verschiedenen Typs am Standort Weibern-Rieden. Die Umgebung der WEA wird landwirtschaftlich genutzt und war zum Zeitpunkt der Messung bestellt. Weiterhin besteht die Umgebung aus mehreren eingestreuten Waldgebieten. Der Windpark Weibern-Rieden besteht derzeit aus insgesamt 14 WEA (1x Seewind, 2x Nordex N90, 5x Vestas V47, 4x Enercon E-82, 2x Enercon E-70 E4). Die Anlagen befinden sich auf einer Anhöhe mit einer geodätischen Höhe von ca. 490 m - 550 m über NN. Südöstlich des Windparks in ca. 1.200 m Entfernung befindest sich die im Tal gelegene Ortschaft Rieden (ca. 400 m über NN). Westlich des Windparks in ca. 1.200 m Entfernung befindet sich die ebenfalls im Tal gelegene Ortschaft Weibern (ca. 410 m über NN).

#### 2.4 Messaufbau

Die Anordnung der Messpunkte wurde gemäß [2] gewählt. Die Messung der Schallemissionen am Referenzpunkt wurde mit einem Mikrofon auf einer schallharten Platte mit einem Durchmesser von 1 m in einem Abstand zum Turmmittelpunkt der WEA von Roadwahlt = 143 m durchgeführt. Der Referenzpunkt war in Mitwindrichtung zur WEA angeordnet (Abb. 2).

$$R_0 = H + \frac{D}{2} \pm 20\%$$

(H: Nabenhöhe; D: Rotordurchmesser)



Die Schalldruckpegel (Betriebs- bzw. Gesamtgeräusche und Fremdgeräusche) wurde mit Hilfe eines Mikrofons und eines Schallpegelmessers aufgezeichnet und für nachträgliche Analysen zeitgleich mit einem Audiorecorder aufgenommen. Bei der Messung wurde ein sekundärer halbkugelförmiger Windschirm (Spezifikation nach [2]) verwendet. Der Frequenzgang des Windschirms ist bekannt.

Der dämpfende Einfluss beträgt 0,2 dB und wurde im Folgenden berücksichtigt.

Die eingespeiste Wirkleistung der WEA wurde als 1 Minuten-Mittelwertsignal vom Hersteller aufgezeichnet und für spätere Analysen zur Verfügung gestellt.

Da die WEA E-82 auf Grund der regelbaren Drehzahl in verschiedenen Betriebsmodi betrieben werden kann, ist nach [1] vorgesehen, zur eindeutigen Charakterisierung des Betriebszustandes die Drehzahl der WEA während der Messung mit aufzuzeichnen.

Das Drehzahlsignal und ebenfalls das Signal der Windgeschwindigkeit in Nabenhöhe wurden ebenfalls als 1 Minuten-Mittelwertsignal vom Hersteller aufgezeichnet und für spätere Analysen zur Verfügung gestellt.

Die Windrichtung und Windgeschwindigkeit in 10 m Höhe wurden von einem Anemometer und einer Windfahne im Abstand von 88 m zur WEA luvseitig erfasst (Abb. 3), digitalisiert und ebenfalls auf der Festplatte des Mess-PCs gespeichert.

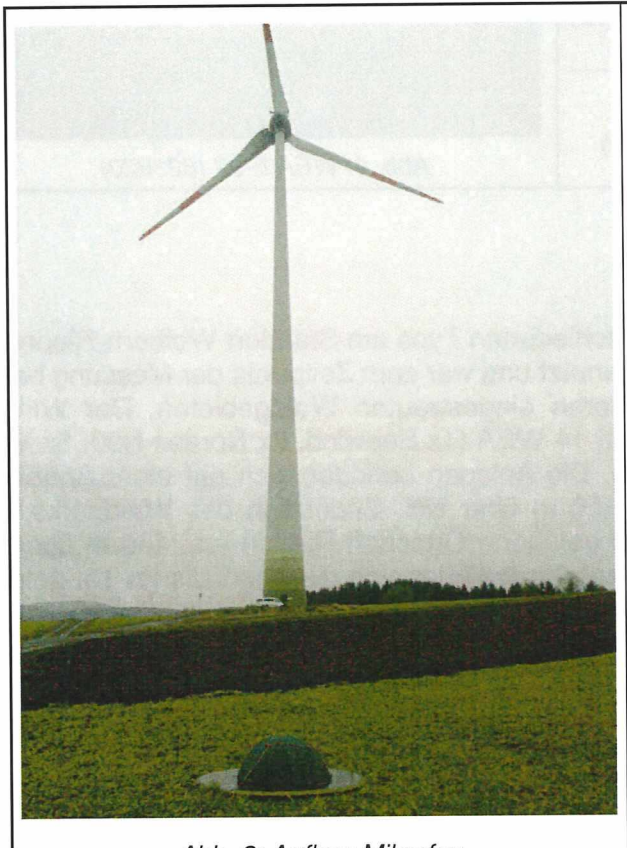






Abb. 3: Aufbau Windmessmast

Die Erfassung der meteorologischen, akustischen und elektrischen Signale wurde mit Hilfe einer Funkuhr (DCF77) synchronisiert. Die verwendeten Messgeräte zur Erfassung aller Signale sind in Tabelle 2 aufgeführt.

Um eine einwandfreie Daten- und Messsicherheit zu gewährleisten, werden alle Messgeräte in den in [2] genannten Abständen geprüft.

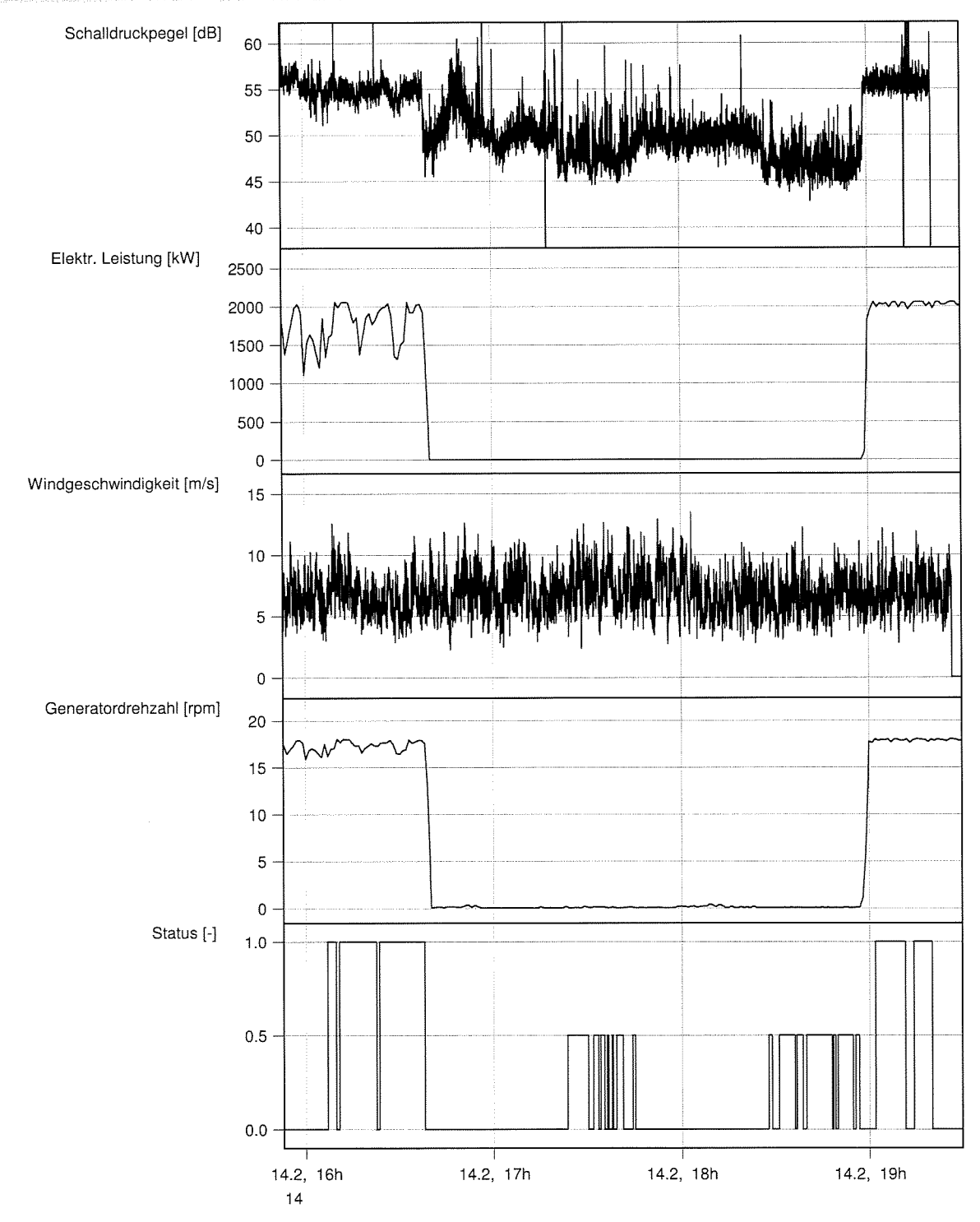


Die gesamte akustische Messkette wurde mit einer Prüfschallquelle vor und nach der Messung kalibriert.

Tab. 2: Messgeräte

0	rab. 2. Wessyerate	T	T
Geräte Akustik devices acoustic	Hersteller / SerienNr.	Kalibriert bis	1
Mikrofon	manufacturer / serial number	calibrated until	wtg number
	Norsonic, Typ 1220, Serien-Nr. 35321	2015-02-12	WTGMT1873
microphone	Norsonic, type 1220, serial-no. 35321		
Mikrofonvorverstärker	Norsonic, Typ 1201, Serien-Nr. 21114	2015-02-12	WTGMT1875
preamplifier	Norsonic, type 1201, serial-no. 21114		
Schallpegelmesser	Norsonic 110, Serien-Nr. 19603	2015-02-12	WTGMT0033/1
sound level meter	Norsonic 110, serial-no. 19603		
Digitaler Audiorekorder	Tascam HD-P2, Frontier / 0550010		WTGMT1814
digital audio recorder  Akustischer Kalibrator	Tascam HD-P2, Frontier / 0550010		
	Brüel & Kjaer, Typ 4231, Serien-Nr. 2162810	2014-08-05	WTGMT0269
acoustical calibrator  Prim. Windschirm	Brüel & Kjaer, Typ 4231, serial-no. 2162810		
	Norsonic		
primary wind screen	Norsonic		
Sek. Windschirm	windtest grevenbroich gmbh		
secondary wind screen	windtest grevenbroich gmbh		
Geräte Meteorologie	Hersteller / SerienNr.	Kalibriert bis	WTG-Nummer
meteorological devices	manufacturer / serial number	calibrated until	wtg number
	Teksam Clark-Mast, Typ Cot 10-6/HP,		
Messmast 10 m	Serien-Nr. GK94289		MITCHITAGOC
meteorological mast	Teksam Clark-Mast, type Cot 10-6/HP, serial-		WTGMT1806
	no. GK94289		
	Thies, Typ: 4.3519.00.700, Serien-Nr.		
Anemometer	08120909	2014 00 00	WTOMTOME
anemometer	Thies, type: 4.3519.00.700, serial no.	2014-08-29	WTGMT2417
	08120909		
Windfahne	Thies, Typ: 4.312.30.021A, SN: 0110039		MATCHAT 4 700
wind vane	Thies, type: 4.312.30.021A, SN: 0110039		WTGMT1780
Messumformer	Weidmüller, Typ: WAZ4 PRO DC/DC		MTCMT1400
signal transformer	Weidmüller, type: WAZ4 PRO DC/DC		WTGMT1402
Messumformer	Weidmüller, Typ: WAZ5 PRO RTD		MATCHATA 407
signal transformer	Weidmüller, type: WAZ5 PRO RTD		WTGMT1467
Thermometer und Hygrometer	Thies,1.1005.54.241,Serien-Nr. 1002-46		MTOMTOLEO
thermometer and hygrometer	Thies,1.1005.54.241,serial-no.1002-46		WTGMT2152
Barometer	Greisinger, Typ GDH 12AN		MITOMITOEOO
barometer	Greisinger, type GDH 12AN		WTGMT0563
Geräte Hard- und Software	Hersteller / SerienNr.	Kalibriert bis	WTG-Nummer
devices hard- and software	manufacturer / serial number	calibrated until	wtg number
Datenlogger	IMC CS4108, Serien-Nr. 125918		
data logger	IMC CS4108, serial-no. 125918		WTGMT2089
Datenlogger	IMC SCI8, Serien-Nr. 888416		
data logger	IMC SCI8, serial-no. 888416		WTGMT2090
	Toshiba Tecra R950-15F,		<del></del>
Computer	Serien-Nr. XC130731		
Computer	Toshiba Tecra R950-15F.		WTGPC1146
•	serial-no. XC130731		
Laserentfernungsmesser	Yardage Pro, 1000 Serien-Nr. 027178		
laser rangefinder	Yardage Pro, 1000 serial-no. 027178		WTGMT1050
Auswertesoftware	WTG Technik		
data acquisiton software	WTG Technik		
Auswertesoftware	IMC Famos Version 6.0 Rev. 3		
data acquisiton software	IMC Famos version 6.0 rev. 3		
30,000			





Datum, h

Abb. 4: Messwerte

Aus dem zeitlichen Verlauf der gemessenen Werte wurden je nach Status die Leistung, Windgeschwindigkeit, Windrichtung und Schalldruckpegel gefiltert. Das arithmetische Mittel der Windgeschwindigkeit und der Leistung sowie das energetische Mittel der Schalldruckpegel über jeweils 60 sek. waren Grundlage zur Ermittlung der Regressionen für die Schalldruckpegel Betrieb und Hintergrund (vgl. Abb. 5 bis Abb. 7).

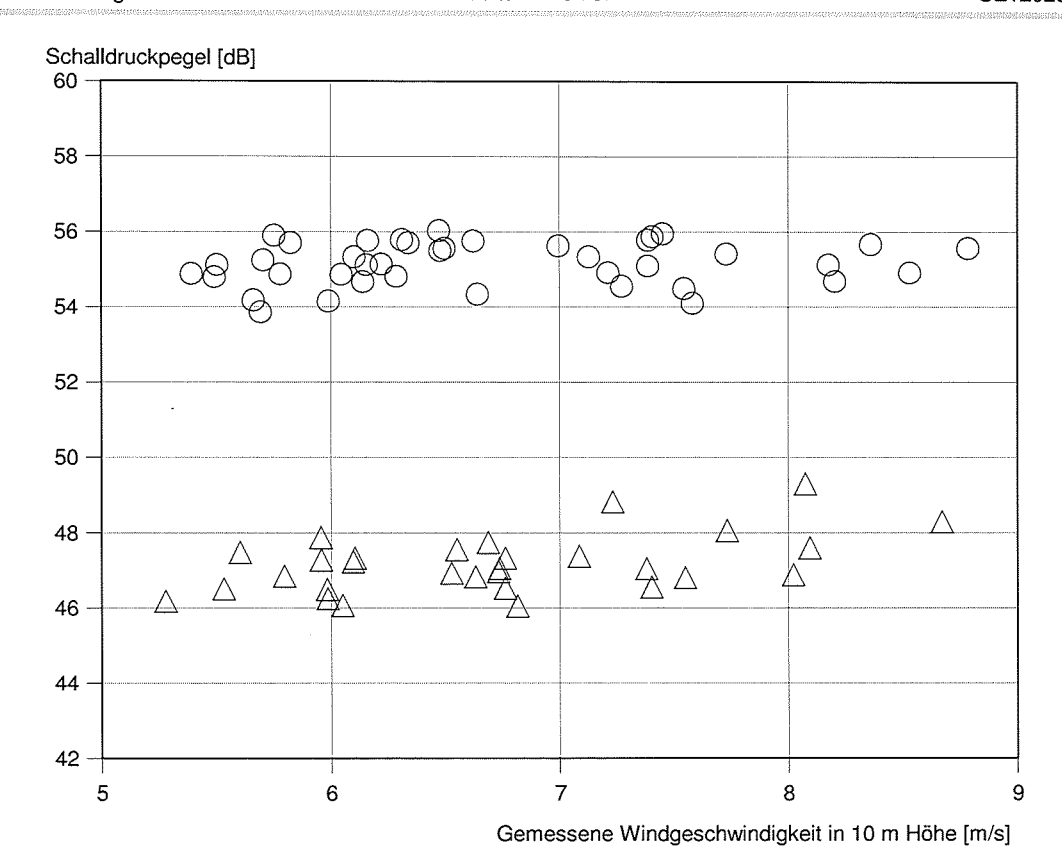


Abb. 5: Schalldruckpegel über gemessener Windgeschwindigkeit (Betrieb O und Hintergrund 4, 60 sek. Mittelwerte)

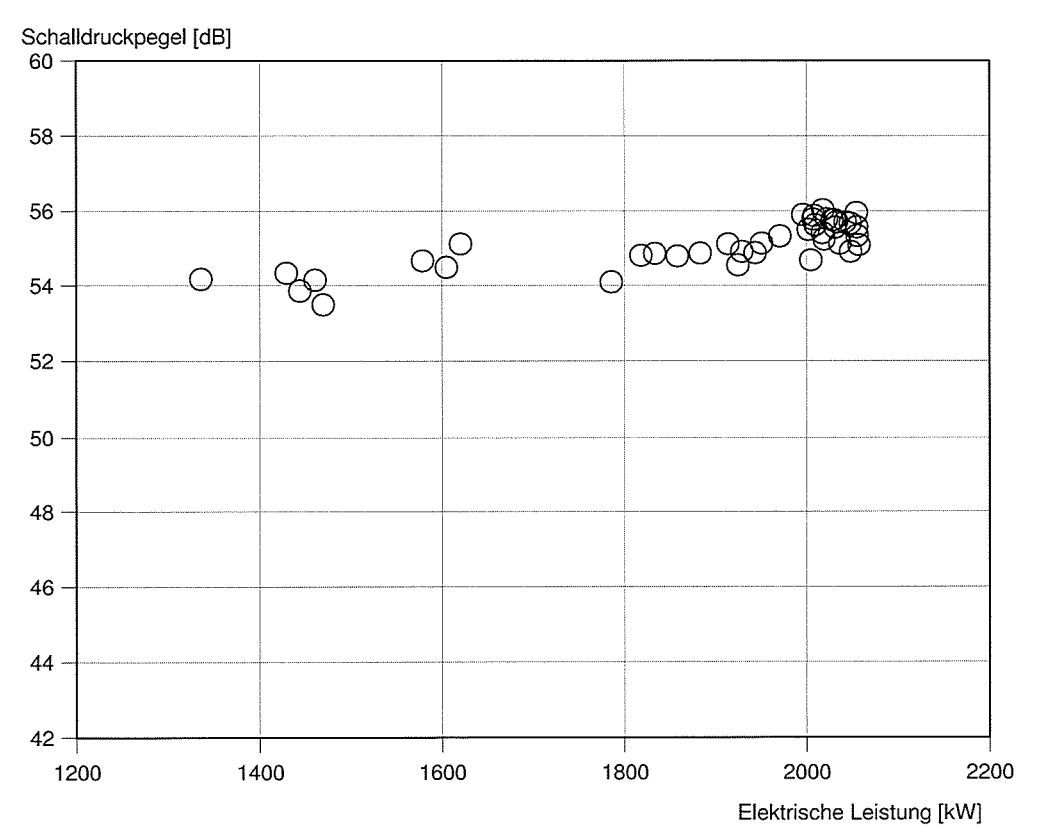


Abb. 6: Schalldruckpegel über elektrischer Leistung (60 sek. Mittelwerte)



# 3.4 Immissionsrelevanter Schallleistungspegel

Aus der gemessenen Wirkleistung wurde mit Hilfe der zu Grunde gelegten Leistungskurve (vgl. Anhang), einer meteorologischen Korrektur gemäß [2] und einem logarithmischen Ansatz für das Windgeschwindigkeitsprofil (Rauhigkeitslänge  $z_0 = 0,05\,\text{m}$ ) auf die standardisierte Windgeschwindigkeit in 10 m Höhe geschlossen.

$$v_{p10} = v_H \cdot \frac{\ln \frac{10}{z_0}}{\ln \frac{H}{z_0}}$$
 mit  $z_0 = 0.05$  m, H = 108,4 m

Aus der standardisierten Windgeschwindigkeit und der im Betrieb der WEA gemessenen Windgeschwindigkeit wurde der Korrekturfaktor  $\kappa$  für die gemessene Hintergrundwindgeschwindigkeit bestimmt.

$$K = \frac{v_{p10}}{v_{mess,10}}$$
 und  $v_{mess,10,korr} = K \cdot v_{mess,10}$ 

Es wurde ein Korrekturfaktor  $\kappa=1,16$  zur Korrektur der gemessenen Hintergrundwindgeschwindigkeiten bestimmt. Daraus ergaben sich die in der folgenden Abbildung dargestellten Regressionen. Messwerte bei mehr als 95 % der Nennleistung sind in der Abb. 7 über ihre gemessene, mit dem Korrekturfaktor  $\kappa$  korrigierte Windgeschwindigkeit mit quadratischen Symbolen  $\square$  dargestellt. Dabei entfallen gemäß [1] solche Messwerte, bei denen die korrigierte Windgeschwindigkeit unterhalb der Windgeschwindigkeit zu 95 % der Nennleistung liegt.

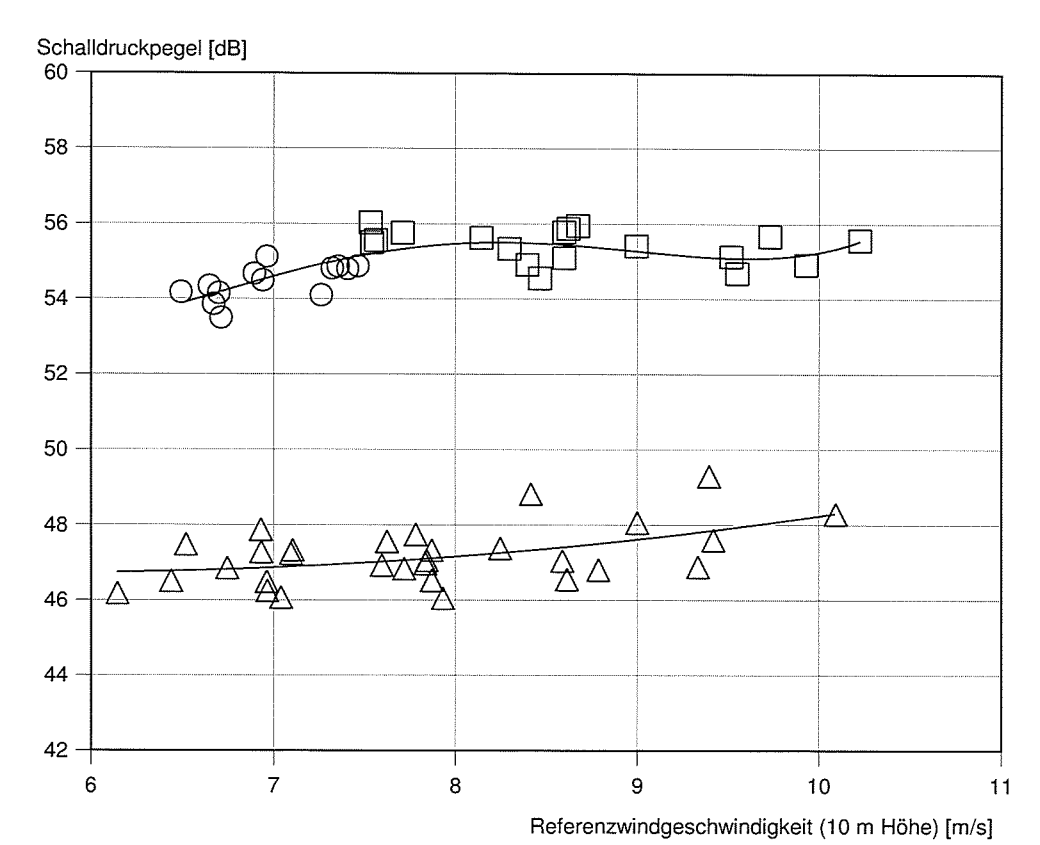


Abb. 7: Schalldruckpegel über standardisierter Windgeschwindigkeit (60 sek. Mittelwerte)

Regression Betrieb O: 306,76 - 139,442 \* X + 28,0134 \*  $X^2$  - 2,43478 \*  $X^3$  + 0,077635 \*  $X^4$  [dB] Regression Hintergrund  $\Delta$ : 49,35 - 0,924 \* X + 0,0812 \*  $X^2$  [dB]  $\Box$  Messwerte größer 95%-Nennleistung

Zwischen den Regressionsgleichungen Schalldruckpegel Betrieb ( $L_{Aeq,BG}$ ) und Schalldruckpegel Hintergrund ( $L_{Aeq,HG}$ ) über der standardisierten Windgeschwindigkeit wurde der Störabstand bestimmt und anschließend der fremdgeräuschkorrigierte Schalldruckpegel ( $L_{Aeq,c}$ ) für den Betrieb der WEA berechnet.

$$L_{Aeq,c} = 10\lg[10^{(0,1*L_{Aeq,BG})} - 10^{(0,1*L_{Aeq,HG})}]$$

Aus dem fremdgeräuschkorrigierten Schalldruckpegel  $L_{Aeq,c}$  wurde für die standardisierten Windgeschwindigkeiten von 7 m/s bis 10 m/s in 10 m Höhe der Schallleistungspegel  $L_{WA}$  der WEA berechnet.

$$L_{WA} = L_{Aeq.c} - 6dB + 10 \cdot \log(4\pi \cdot \frac{R_i^2}{1m^2}) \qquad dB$$

$$R_i = \sqrt{(R_o + N_A)^2 + (H - h_A)^2}$$

 $R_0 = 143 \text{ m}, N_A = 4,62 \text{ m}, H = 108,4 \text{ m}, h_A = 0 \text{ m}$ 

Damit ergaben sich für die WEA E-82 in der vorliegenden Konfiguration die in der Tab. 4 dargestellten immissionsrelevanten Schallleistungspegel.

Seite 14 von 37

Tab. 4. Infinissionsrelevanter Schainerstungspeger L-02, Detrieb (2.000 KW)					
Windgeschwindigkeit in 10 m	BIN 7	7,4 m/s <sup>1)</sup>	BIN 8	BIN 9	BIN 10 <sup>2)</sup>
Höhe (v <sub>p10</sub> )	6,5–7,5 m/s	7,4 111/5	7,5–8,5 m/s	8,5–9,5 m/s	9,5–10,5 m/s
Gesamtgeräusch L <sub>Aeq,BG</sub> [dB]	54,6	55,1	55,5	55,3	55,3
Fremdgeräusch L <sub>Aeq,HG</sub> [dB]	46,9	47,0	47,2	47,6	47,6
Abstand ∆L [dB]	7,7	8,1	8,3	7,7	7,7
Betriebsgeräusch L <sub>Aeq,c</sub> [dB]	53,8	54,4	54,8	54,5	54,5
Schallleistungspegel L <sub>WA</sub> [dB]	104,0	104,6	105,0	104,7	104,7
Elektrische Leistung P [kW]	1.685	1.900	2.062	2.090	2.090

Tab. 4: Immissionsrelevanter Schallleistungspegel E-82, Betrieb I (2.000 kW)

Anmerkung 1: Aus den dargestellten Messwerten oberhalb 95 % der Nennleistung (Abb. 7) wird ersichtlich, dass für diesen Anlagentyp bei noch höheren Windgeschwindigkeiten nicht mit einer weiteren Erhöhung der Schallemissionswerte zu rechnen ist.

### 3.5 Impulshaltigkeit

Vom Gutachter wurden keine impulsartigen Auffälligkeiten festgestellt (subjektive Beurteilung nach [1]). Somit wurde hier keine detaillierte Auswertung nach DIN 45645-1 [4] vorgenommen.

# 3.6 Pegel von Einzelereignissen

Einzelereignisse wie das Anfahren oder Abschalten der Anlage, Quietschen der Bremsen oder Fahren des Azimut, die den Mittelungspegel um mehr als 10 dB überschritten, wurden bei der Messung nicht festgestellt.

# 3.7 Tonhaltigkeitsanalyse

Die Tonhaltigkeitsauswertung ist gemäß Technischer Richtlinie [1] nach IEC 61400-11 [2] durchzuführen und nach DIN 45681 [3] mit einem Tonzuschlag  $K_{TN}$  zu bewerten.

#### 3.7.1 Verfahren der Tonhaltigkeitsanalyse

Das aufgezeichnete Geräusch (Hintergrund und Betrieb) wird zur Bestimmung der Frequenzzusammensetzung mit 40 kHz unter Verwendung eines Antialiasing-Filters mit einer Grenzfrequenz von 20 kHz digitalisiert und einer Fastfourieranalyse (FFT) unterzogen.

Je Windgeschwindigkeitsklasse (BIN) werden für das Betriebsgeräusch und das Hintergrundgeräusch jeweils zwölf Aufnahmen mit einer Länge von je 10 sek. der FFT zu Grunde gelegt. Die Frequenzauflösung beträgt 2 Hz. Für die FFT wurde ein Hanning Fenster verwendet.

Nach energetischer Mittelung der zwölf Differenzpegel  $\Delta L$  und Berücksichtigung des Audibilitätsmaßes ( $L_a$ ) wird ein Tonhaltigkeitszuschlag ( $K_{TN}$ ) für den Nahbereich der Windenergieanlage nach [3] je BIN vergeben.

<sup>1) 95 %</sup> Nennleistung

<sup>2)</sup> Wenige Messwerte für das Fremdgeräusch. Wert für HG aus BIN 9 übernommen: Schallleistungspegel wurde abgeschätzt (worst-case Betrachtung).

#### 3.7.2 Ergebnisse der Tonhaltigkeitsanalyse

Das von der E-82 analysierte Betriebsgeräusch weist im Spektrum keine tonale Komponente gemäß [2] auf, sodass auf eine detaillierte Darstellung an dieser Stelle verzichtet wird. Die in den Spektren im Anhang 5 erkennbare Auffälligkeit bei ca. 150 Hz ist einer anderen Anlage zuzuordnen, da diese ebenfalls in den erzeugten Spektren des Hintergrundgeräusches (WEA gestoppt) erkennbar ist.

Die Spektren sind im Anhang 5 dargestellt.

#### 3.8 Turbulenzintensität

Die Turbulenzintensität wurde gemäß [2] aus drei repräsentativen 10 Minuten Zeitabschnitten der Windgeschwindigkeit und der zugehörigen Standardabweichung ermittelt. Die Turbulenzintensität beträgt im Durchschnitt 23 %. Dieser Wert wurde in 10 m Höhe gemessen und ist nicht direkt mit Werten an anderer Stelle, z. B. in Standortgutachten, zu vergleichen.

#### 3.9 Betriebszustand während der Messung

In Abb. 8 wurde die Generatordrehzahl über der Leistung aufgetragen. Dieser Messdatenverlauf charakterisiert den eingestellten Betriebsmodus der WEA und kann mit Sollkurven des Herstellers verglichen werden.

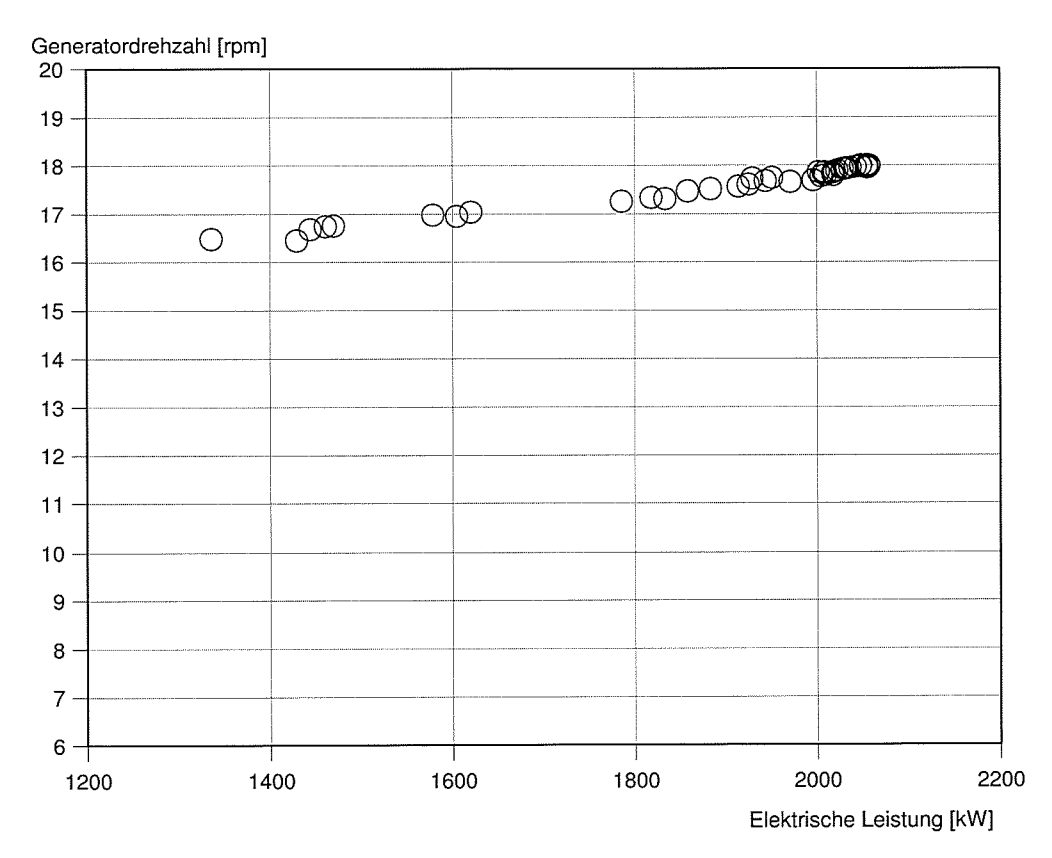


Abb. 8: Drehzahl über Leistung (60 sek. Mittelwerte)



#### 4 Messunsicherheit

Die Messunsicherheit wird bei Schallemissionsmessungen an WEA gemäß [2] abgeschätzt. Sie setzt sich zusammen aus statistischen Unsicherheiten (Typ A) und systematischen Abweichungen (Typ B).

### 4.1 Messunsicherheit Typ A

Aus den gemessenen Schalldruckpegeln und den berechneten Schalldruckpegeln (Regressionsanalyse) wurde die Messunsicherheit des Typs A in 10 m Höhe bestimmt.

Die Gleichung für U<sub>A</sub> in [1] beschreibt die Standardabweichungen der ermittelten Regressionswerte für das Betriebs- und Fremdgeräusch.

$$U_A = \sqrt{\frac{\sum (y - y_{est})^2}{N(N - 2)}}$$

Die Unsicherheit des gemessenen fremdgeräuschkorrigierten Anlagenpegels  $U_{A,s}$  wird wie folgt berechnet:

$$U_{A,s} = \sqrt{\frac{(U_{A,BG} * 10^{0.1*L_{BG}})^2 + (U_{A,HG} * 10^{0.1*L_{HG}})^2}{10^{0.1*L_{WEA}}}}$$

Tab. 5: Messunsicherheiten Typ A

Stand. Windgeschwindigkeit	BIN 7	BIN 8	BIN 9	BIN 10
Messunsicherheit $U_{A,s}$ [dB]	0,16	0,27	0,25	0,25

# 4.2 Messunsicherheiten Typ B

Messunsicherheiten des Typs B wurden nach Tab. 6 abgeschätzt.

Tab. 6: Messunsicherheiten Typ B

Messunsicherheiten Typ B	Fehlergrenzen ± a	Wahrscheinli- cher Fehler	$U_a = a/\sqrt{3}$	
Akustischer Kalibrator U <sub>B1</sub>	± 0,3 dB	0,17 dB		
Schallpegelmesser U <sub>B2</sub>	± 0,3 dB	0,1	7 dB	
Schallharte Platte U <sub>B3</sub>	± 0,5 dB	0,29 dB		
Messabstand U <sub>B4</sub>	± 0,1 dB	0,06 dB		
Luftimpedanz U <sub>B5</sub>	± 0,2 dB	0,12 dB		
Turbulenz U <sub>B6</sub>	± 0,7 dB	0,40 dB		
Windgeschwindigkeit U <sub>B7</sub>	± 0,3 dB	0,17 dB		
Windrichtung U <sub>B8</sub>	± 0,5 dB	0,29 dB		



# 4.3 Abschätzung der Gesamtmessunsicherheit U<sub>c</sub>

Aus der berechneten Messunsicherheit des Typs A und den abgeschätzten Messunsicherheiten des Typ B ergibt sich nach [2] die kombinierte Gesamtmessunsicherheit Uc:

$$U_{C} = \sqrt{U_{A,s}^{2} + U_{B1}^{2} + U_{B2}^{2} + U_{B2}^{2} + U_{B3}^{2} + U_{B4}^{2} + U_{B5}^{2} + U_{B6}^{2} + U_{B7}^{2} + U_{B8}^{2}}$$

Die ermittelten Gesamtmessunsicherheiten Uc sind in Tab. 7 dargestellt:

Tab. 7: Gesamtmessunsicherheit U<sub>C</sub> für den Schallleistungspegel

Windgeschwindigkeit auf 10m	BIN 7	BIN 8	BIN 9	BIN 10
Höhe (v <sub>p10</sub> )	6,5-7,5 m/s	7,5-8,5 m/s	8,5-9,5 m/s	9,5-10,5 m/s
Gesamtmessunsicherheit U $_{\mathcal{C}}$ [dB]	0,7	0,7	0,7	0,7

### 4.4 Messunsicherheiten für Tonhaltigkeiten

Bei der Tonhaltigkeit ist  $U_A$  für jeden Einzelton der Fehler des Mittelwertes aus den maximalen Tonpegeln. Der Wert von  $U_{B3}$  kann mit 1,7 dB abgeschätzt werden. Da es sich bei dem angegebenen Wert  $\Delta L_{a,k}$  um eine Differenz handelt und des Weiteren die Windgeschwindigkeit hier von zweitrangiger Bedeutung ist, können die Werte von  $U_{B1}$ ,  $U_{B4}$  und  $U_{B6}$  geringer angenommen werden als beim Schallleistungspegel  $L_{WA}$ .

Da keine tonale Komponente gemäß Verfahren nach [1] bzw. [2] ermittelt werden konnte, wird an dieser Stelle auf eine Ausweisung von Unsicherheiten verzichtet.

# 4.5 Messunsicherheiten für Terzspektren

Bei der Betrachtung von Terzbänder gibt  $U_A$  die Abweichung zum jeweiligen Frequenzbandmittelungspegels in jedem Frequenzband an, welcher aus der Standardabweichung mit dem Nenner  $\sqrt{N-1}$  berechnet wurde, wobei N die Anzahl der gemessenen Spektren ist. Der Wert für  $U_{B3}$  muss hier im Vergleich zur Messunsicherheitsbetrachtung des Schallleistungspegels  $L_{WA}$  größer eingeschätzt werden und liegt typischerweise bei 1,7 dB. Die Gesamtunsicherheiten  $U_C$  für die Frequenzbandmittelungspegel der Terzspektren sind in den Tabellen im Anhang 4 dargestellt.



# 5 Abweichungen zur Richtlinie FGW TR.1

- [1] Die relevanten Betriebsparameter (elektrische Wirkleistung, Rotordrehzahl und Gondelwindgeschwindigkeit) wurden als 1 Minuten-Mittelwerte vom Hersteller gespeichert, und für spätere Analysen zur Verfügung gestellt.
- [2] Für die Bestimmung des immissionsrelevanten Schallleistungspegels in BIN 10, lagen für die Fremdgeräusche nicht genügend Messwerte gemäß [2] vor, sodass der Schallleistungspegel abgeschätzt wurde.
- [3] Für die Beschreibung der Fremdgeräusche in Abhängigkeit zur Windgeschwindigkeit, wurde eine Regression 2. Ordnung verwendet.



# 6 Zusammenfassung

Im Auftrag der DunoAir Windpark Planung GmbH wurde von der Firma windtest grevenbroich gmbh die Geräuschabstrahlung der WEA E-82 mit einer Nabenhöhe von H = 108,4 m inkl. Fundament nach Technischer Richtlinie für Windenergieanlagen der FGW [1] untersucht.

Grundlage für den Messaufbau ist dabei die IEC 61400-11 [2]. Für die Bestimmung der Tonhaltigkeitszuschläge im Nahfeld der WEA ist die IEC 61400-11 bzw. die DIN 45681 [3] die Grundlage.

Die Messung wurde 2014-02-14 in Weibern-Rieden an der WEA 8 des Typs E-82 mit der Ser.-Nr. 823620, im leistungsoptimierten Betrieb I (2.000 kW) durchgeführt.

Eine ausgeprägte Richtungscharakteristik des Anlagengeräusches ist bei dieser Windenergieanlage nicht festgestellt worden. Einzelereignisse, die den Mittelungspegel im Betrieb der WEA um mehr als 10 dB überschreiten, traten nicht auf.

Bezüglich des Schallleistungspegels  $L_{WA}$  wurde für diese Messung eine typische Messunsicherheit von  $U_C = 0.7$  dB ermittelt.

Die Tonhaltigkeitsanalyse nach IEC 61400-11 [2] für das in 143 m Entfernung gemessene Anlagengeräusch ergab nach DIN 45681 [3] keinen Tonhaltigkeitszuschlag  $K_{TN}$  für die hier analysierten BINs.

Das Anlagengeräusch ist derzeit als unauffällig einzustufen.

Nach Auswertung der gemessenen Werte in den einzelnen BINs ergeben sich für die E-82 die in Tab. 8 aufgeführten Pegel.

Tab. 8: Messergebnisse für die WEA E-82, Betrieb I (2.000 kW)

Windgeschwindigkeit in 10 m	BIN 7	7,4 m/s <sup>1)</sup>	BIN 8	BIN 9	BIN 10 <sup>2)</sup>	
Höhe (v <sub>p10</sub> )	6,5–7,5 m/s	7,4111/5	7,5–8,5 m/s	8,5–9,5 m/s	9,5-10,5 m/s	
Schallleistungspegel L <sub>WA</sub> [dB]	104,0	104,6	105,0	104,7	104,7	
Tonzuschlag K <sub>TN</sub> [dB]	0	0 <sup>2)</sup>	0	0	0	
Impulshaltigkeit K <sub>IN</sub> [dB]	0	0 <sup>2)</sup>	0	0	0	
Generatordrehzahl N <sub>Gen</sub> [U/min]	17,1	17,5	18,0	18,0	18,0	
Elektrische Leistung P [kW]	1.685	1.900	2.062	2.090	2.090	

1) 95 % Nennleistung

Die in diesem Bericht aufgeführten Ergebnisse beziehen sich nur auf diese Anlage (vgl. Herstellerbescheinigung im Anhang).

Grevenbroich, 2014-03-18

Dipl.-Ing. David Rode Gruppenleiter





<sup>2)</sup> Übernahme des Wertes aus BIN 7, da der 95 % Punkt innerhalb dieser BIN-Grenzen liegt. Es wird versichert, dass das Gutachten gemäß dem Stand der Technik, unparteiisch und nach bestem Wissen und Gewissen erstellt wurde.



# 7 Literaturverzeichnis

- [1] Technische Richtlinien für Windenergieanlagen, Revision 18, Stand 01.02.2008 Teil1: Bestimmung der Schallemissionswerte, Herausgeber: Fördergesellschaft Windenergie e. V.
- [2] IEC 61400-11:2002 + A1:2006, Wind turbine generator systems- Part 11: Acoustic noise measurement techniques
- [3] DIN 45681
  Bestimmung der Tonhaltigkeit von Geräuschen und Ermittlung eines Tonzuschlages für die Beurteilung von Geräuschimmissionen
  August 2006
- [4] DIN 45645, Teil 1
  Ermittlung von Beurteilungspegel aus Messungen, Teil1: Geräuschimmissionen in der Nachbarschaft
  Juli 1996.

# 8 Verzeichnis der verwendeten Formelzeichen und Abkürzungen

ΔL	-	Pegeldifferenz	dB
$\Delta L_k$	-	energetisches Mittel	dB
$\Delta L_{a,k}$	_	Tonalität	dB
BG	-	Betriebsgeräusch	-
D	-	Rotordurchmesser	m
$f_T$	-	Tonfrequenz	Hz
Н	-	Höhe Rotormittelpunkt (Nabenhöhe)	m
h <sub>A</sub>		Aufpunkthöhe (bei Messungen gleich der Mikrofonhöhe)	m
HG	-	Hintergrundgeräusch	-
h <sub>N, neu</sub>	-	Nabenhöhe für gleiche WEA, aber andere Nabenhöhe als die vermessene	m
h <sub>N, vermessen</sub>	-	Nabenhöhe der vermessenen WEA	m
κ	-	Korrekturfaktor	_
K <sub>IN</sub>	_	Impulshaltigkeit	dB
K <sub>TN</sub>	_	Tonzuschlag im Nahfeld nach DIN 45681	dB
La	-	Audibilitätsmaß	-
$L_{Aeq}$		äquivalenter Dauerschallpegel, A-bewertet	dB
L <sub>Aeq,c</sub>	-	hintergrundkorrigierter Schalldruckpegel	dB
L <sub>Aeq,mess</sub>	-	gemessene Schalldruckpegel	dB
L <sub>Aeq,regr</sub>	_	aus Regression berechnete Schalldruckpegel	dB
L <sub>T</sub>	-	Tonpegel	dB
$L_{WA}$	_	A-bewerteter Schallleistungspegel	dB
N	_	Anzahl Werte	-
$N_A$	-	Nabenabstand Rotormittelpunkt - Turmmitte	m
$N_{Gen}$	-	Generatordrehzahl	min <sup>-1</sup>
$N_{Rot}$	-	Rotordrehzahl	min <sup>-1</sup>
Р	-	abgegebene elektrische Wirkleistung	kW
$R_0$	-	Messradius ( = projizierter Abstand zwischen Schallquelle und Messpunkt)	m
$R_i$	-	Abstand zwischen Schallquelle und Messpunkt (Hüllflächenradius)	m
$U_a,U_b,U_c$	-	Messunsicherheiten	dB
$v_H$	-	Windgeschwindigkeit aus Leistungskurve in Nabenhöhe	m/s
V <sub>mess,10</sub>	-	gemessene Windgeschwindigkeit in 10 m Höhe	m/s
V <sub>mess,10,korr</sub>	-	korrigierte gemessene Windgeschwindigkeit in 10 m Höhe	m/s
$V_{p10}$	-	standardisierte Windgeschwindigkeit in 10 m Höhe	m/s
$V_{10,i}$	-	Windgeschwindigkeit der vermessenen WEA in 10 m Höhe	m/s
V <sub>10,ref</sub>	-	ganzzahlige Windgeschwindigkeit der WEA mit neuer Nabenhöhe	m/s
WEA	-	Windenergieanlage	-
$z_0$	-	Rauhigkeitslänge	m

Seite 22 von 37



# 9 Bearbeitungsverlauf

Fassung	Datum	Inhalt
SE12028B3	2014-03-18	Schalltechisches Gutachten gemäß FGW TR.1 zur Wind- energieanlage ENERCON E-82 SerNr.: 823620, im Windpark Weibern-Rieden - Betrieb I (2.000 kW) -

Umlauf	Kopie Nr.
Auftraggeber	1
Projektordner	2
QM-Ablage	3

Kopie Nr.:



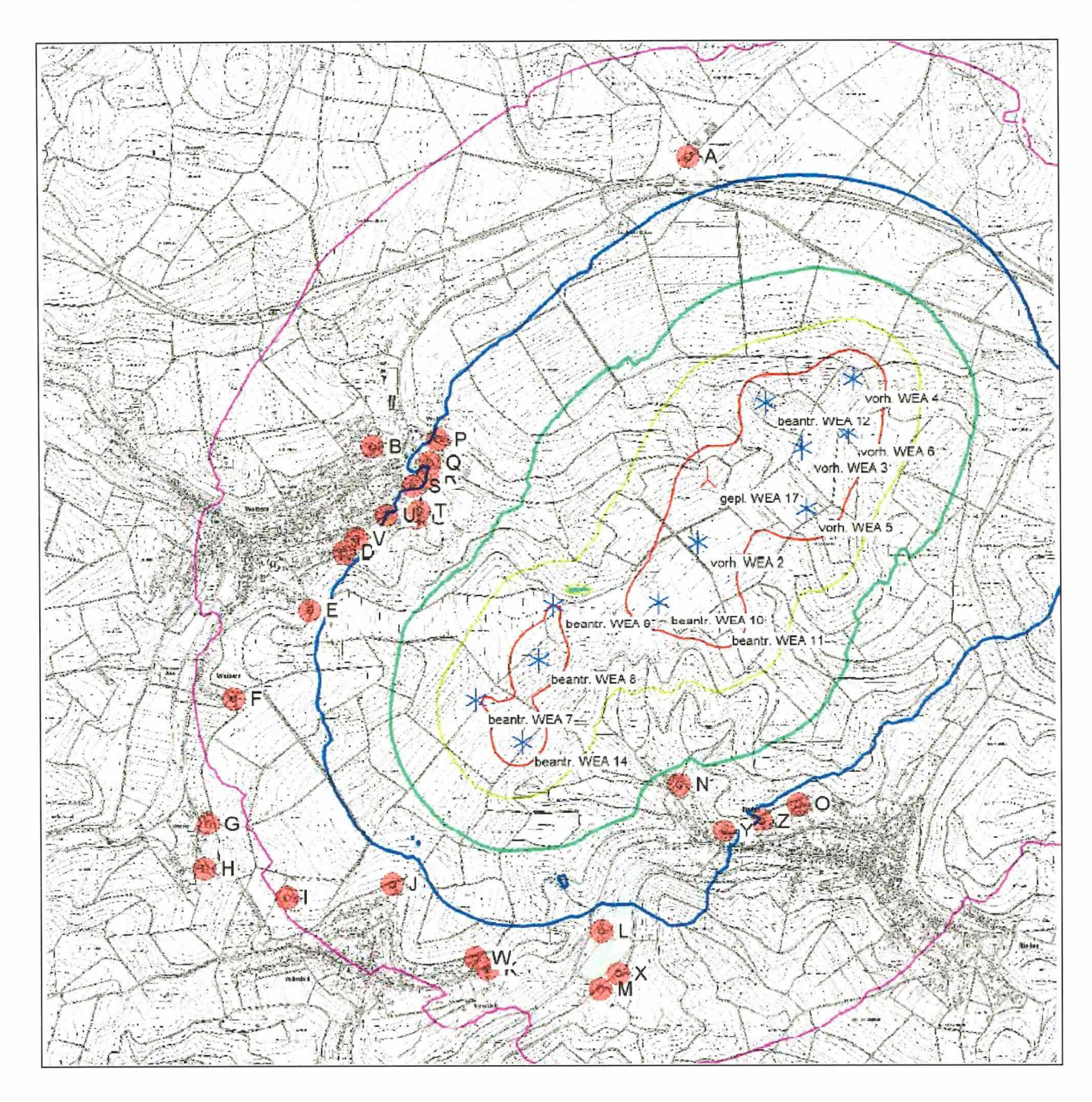
# 10 Anhang

Anhang 1	Lageplan
Anhang 2	Herstellerbescheinigung
Anhang 3	Verwendete Leistungskurve
Anhang 4	Oktav- und Terzspektrum
Anhang 5	Schmalbandspektren

Anhang 1: Lageplan Seite 24 von 37

# Lageplan der E-82 (WEA 11)

Quelle: Schallimmissionsprognose PK2008003-SLG-NT2 bis NT4 von 2010-07-26 (Datum letzter Nachtrag), Fa. Ingenieurbüro PLANkon



#### Herstellerbescheinigung, Kurzfassung für akustische Nachmessungen Manufacturer's certificate, Short version for control measurements of acoustic noise

1. Allgemeine Informationen – General informations		
Anlagenhersteller - turbine manufacturer :		ENERCON
Spezifische Anlagenbezeichnung - specific turbine type name:		E-82 E1
Seriennummer der vermessenen WEA - serial number of tested WT:		823620
Standort der vermessenen WEA - location of tested WT:		56745 Weibern - Rieden
Koordinaten des Standortes (WGS 84/UTM zone 32N) - coordinates of turbine loca	ation (WGS 84/UTM zone 32N):	R: 370024/ H: 5585123
Rotorachse - rotor axis:	horizontal - horizontal	□ vertikal – vertical □
Nennleistung - rated power:		2,0 MW
Leistungsregelung – power control:	pitch	
Nabenhöhe über Grund – hub height above ground:		108,38 m
Nabenhöhe über Fundamentflansch - hub height above top of foundation flange :		108,18 m
Nennwindgeschwindigkeit – rated wind speed:	0.5	13 m/s
Ein- / Abschaltwindgeschwindigkeit - cut-in / cut out wind speed :	2,5	m/s / 28 – 34 m/s
2. Rotor - Rotor		
Durchmesser - rotor diameter :		82 m
Anzahl der Blätter – number of blades :		3
Nabenart - kind of hub:	pendeind - teetered	
Anordnung zum Turm – position relative to tower:	luv – upwind	
Drehzahlbereich / Drehzahlstufen – rot. speed range / stages of rot. speed:	6 - 18 Upm Betrieb I (2 MW)	) – 6 – 18 rpm mode I (2 MW) variabel – variable
Rotorblatteinstellwinkel - rotor blade pitch setting:		0°
Konuswinkel – cone angle : Achsneigung – tilt angle :		5°
Horizontaler Abstand Rotormittelpunkt - Turmmittellinie – horiz. distance between	centre of rotor and tower centre	
3. Rotorblatt - Rotor blade	CONTROL OF TOTAL CONTROL CONTROL	
Hersteller – manufacturer:		ENERCON
Typenbezeichnung – type:		E82-1CFK
Seriennummern der Rotorblätter – serial numbers of rotor blades :	1: AE3416 2:	AE3415 3: AE3426
Zusatzkomponenten (z.B. stall strips, Vortex-Gen., Turbulatoren) – additional com		
4. Getriebe - Gearbox		
Hersteller – manufacturer :		entfällt – non existent
Typenbezeichnung – type:		entfällt - non existent
Seriennummer des Getriebes - serial number of gear box :		entfällt - non existent
Ausführung – design:		entfällt – non existent
Übersetzungsverhältnis – gear ratio :	9	entfällt – non existent
5. Generator - Generator		
Hersteller - manufacturer:	- Condensation Control	ENERCON
Typenbezeichnung - type:		E-82
Seriennummer des Generators - serial number of generator :	Rotor: CF323-12-2084	Stator: CM429-2-0858
Anzahl - number of generators :		1
Art - design:		synchron, Ringgenerator
Nennleistung(en) - rated power value(s):		2,0 MW
Drehzahlbereich / Drehzahlstufen - rot. speed range / stages of rot. speed:	6 – 18 Upm Betrieb I (2 MW	) – 6 – 18 rpm mode I (2 MW)
6. Turm – Tower	X	
Ausführung – design: Gitter – lattice □ Rohr – tubular ⊠	zylindrisch - cylindrical	
Material - material:	Sta	ahl & Beton - steel & concrete
Durchmesser - Turmfuß - foot of the tower diameter:		8,83 m
7. Betriebsführung / Regelung - Control system		
Art der Leistungsregelung - kind of power control:		Pitch
Antrieb der Leistungsregelung - actuation of power control:		elektrisch – electrical
Hersteller der Betriebsführung / Regelung - manufacturer of control system :		ENERCON
Typenbezeichnung der Betriebsführung / Regelung – control system type:		CS82a
Bezeichnung der verwendeten Steuerungskurve – designation of used control set		RCON E-82 Betrieb I, 2,0 MW
Bezeichnung / Messbericht der verwendeten Leistungskurve - designation of pow	ver curve report : Kennlinie E-	82 2,0 MW berechnet Rev 2.2



Stempel und Unterschrift des Herstellers manufacturer's stamp and signature

Der Hersteller der Windenergieanlage bestätigt, dass die WEA, deren Schallemission, Leistungskurve und elektrische Eigenschaften in den Prüfberichten abgebildet sind, die o. g. Eigenschaften aufweist. – The manufacturer of the wind turbine (WT) confirms that the WT whose noise level, performance curve and power quality is measured and depicted in the test reports shows the characteristics given above.



#### Verwendete Leistungskennlinie E-82

#### Auszug aus dem Prüfbericht

Seite 1/2

Stammblatt "Leistung", entsprechend den "Technischen Richtlinien für Windenergieanlagen, Teil 2:

Bestimmung von Leistungskurve und standardisierten Jahresenergieerträgen

Rev. 14 vom 01. März 2004 (Herausgeber: Fördergesellschaft Windenergie e. V., Stresemannplatz 4, D-24103 Kiel

Auszug aus dem Prüfbericht DEWI-PV 0511-016.3 zur Leistungskurve der Windenergieanlage vom Typ ENERCON E-82 mit einer Nennleistung von 2000 kW Datenbasis B (WEA Status: Verfügbarkeit, ohne Abschalthysterese)

Anlagentyp:	ENERCON E-82	Herstellerangaben		
Anlagenhersteller:	ENERCON GmbH	Nennleistung:	2000 kW	
	Dreekamp 9	Nennwindgeschwindigkeit:	13 m/s	
	D-26605 Aurich	Rotordrehzahlbereich:	6 - 19.5 rpm (Betrieb 0)	
Anlagen-Standort (ca.):	х: 2592260 у: 5914843	Rotordurchmesser:	82 m	
	(Gauß Krüger, Bessel)	Nabenhöhe:	98 m	
Seriennummer:	82001	Blatteinstellwinkel: pitch	Blatt-Typ: ENERCON 82-1	

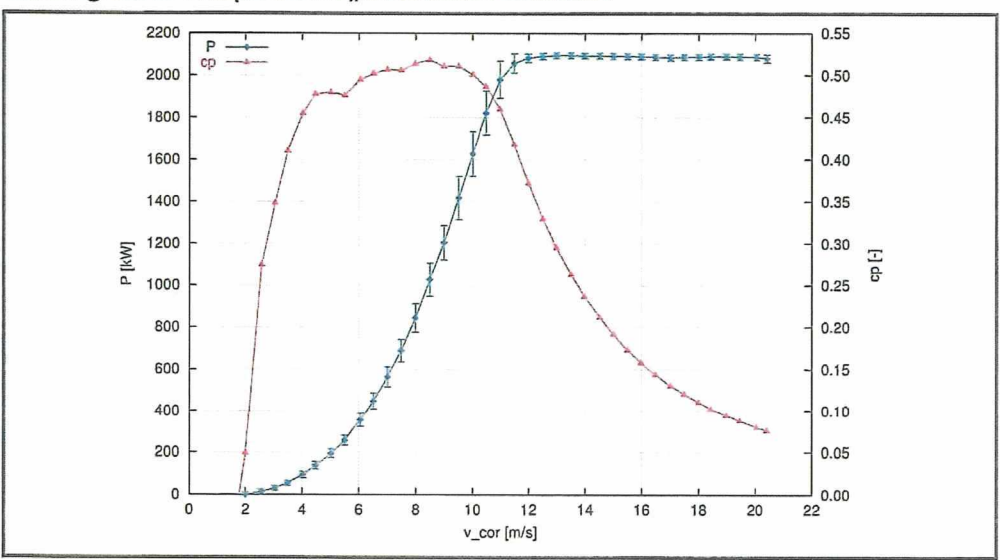
#### Messumfang und Angaben zu den Sensoren

Messzeitraum (MEZ):	26.10.2006 (17:00) - 30.03.2007 (10:30)			
	Messgenauigkeit			
Ausgewerteter Windrichtungssektor:	189° - 251° und 343° - 18° bzgl. Leistungsmessung: 18.25 kW			
Windmessung / Nabenhöhe:	97.5 m	bzgl. Anemometerkalibration: Thies 1st Class 4.3350.10.000	0.1 m/s	
Referenz-Luftdichte:	1.225 kg/m³ bzgl. Luftdichtebestimmung: 0.4 %			

#### Abweichungen gegenüber der Richtlinie

Keine Abweichungen von der Richtlinie.

#### Leistungskurve entsprechend "Technischer Richtlinie"



Gemessene Leistungskurve bei Referenzluftdichte 1.225 kg/m³; dargestellt sind nur vollständige Bins (mindestens drei Werte).

#### Auszug aus dem Prüfbericht "Leistung" Seite 2/2

	Gemessene Leistu Bezugs-L	ngskurve de uftdichte 1.225		E-82	Unsicherheit Kategorie A	Unsicherheit Kategorie B	Kombinierte Unsicherheit
Bin- Nr.	Windgeschwindigkeit in Nabenhöhe Vi	Wirkleistung P <sub>i</sub>	c <sub>p,i</sub> -Wert	Anzahl der Datensätze N <sub>i</sub>	Standard- unsicherheit S <sub>i</sub>	Standard- unsicherheit u <sub>i</sub>	Standard- unsicherheit u <sub>c,i</sub>
	[m/s]	[kW]	[-]	[-]	[kW]	[kW]	[kW]
3 4 5 6 7 8 9 10 11 12 13 14 15 16 17 18 19 20 21 22 23 24 25 25 26	1.48 2.00 2.57 3.04 3.48 4.03 4.47 5.00 5.50 6.05 6.51 7.01 7.49 7.98 8.50 9.00 9.51 10.01 10.50 10.99 11.50 12.00 12.99	-0.69 1.28 15.14 31.70 55.83 96.00 138.47 194.46 255.42 355.07 448.18 564.52 687.56 844.06 1027.11 1204.86 1418.47 1627.90 1821.44 1979.36 2057.04 2081.39 2089.98 2093.23	-0.07 0.05 0.27 0.35 0.41 0.46 0.48 0.48 0.50 0.50 0.51 0.51 0.51 0.52 0.51 0.52 0.51 0.52 0.51 0.52 0.51	1-J 6 8 17 25 29 48 38 33 36 73 88 156 152 188 199 256 348 335 348 335 348 335 348 326 244 241	0.1 0.9 1.1 1.4 2.1 3.4 2.6 4.7 5.6 7.7 6.1 5.0 4.8 5.2 6.2 5.2 6.2 5.8 4.6 4.7 3.7 2.4 1.1	10.6 10.6 11.0 11.5 12.9 14.9 17.7 19.8 23.2 33.3 38.8 46.4 53.3 68.4 79.5 83.2 102.6 105.4 105.5 87.9 45.4 20.0	10.6 10.6 11.0 11.6 13.1 15.3 17.9 20.3 23.9 34.2 39.3 46.7 53.5 68.7 79.7 83.4 102.7 105.5 105.6 88.0 45.4 20.0 14.7 13.9
27 28 29 30 31 32 33 34 35 36 37 38 39 40	13.51 13.98 14.51 14.98 15.50 15.98 16.48 17.01 17.49 18.00 18.43 18.97 19.44 20.04	2093.56 2091.68 2092.23 2090.97 2089.95 2088.23 2085.72 2083.06 2085.46 2085.60 2088.97 2088.28 2087.64 2085.77 2079.04	0.26 0.24 0.21 0.19 0.17 0.16 0.14 0.13 0.12 0.11 0.10 0.09 0.08	239 197 182 127 122 119 110 79 81 53 37 20 3	0.5 0.5 0.4 0.6 0.8 0.9 2.0 2.3 4.0 1.7 1.7 4.8 1.4 9.3	13.8 13.8 13.8 13.8 13.8 13.9 13.9 13.9 13.7 14.2 13.8 13.8 13.8	13.8 13.8 13.8 13.8 13.9 13.9 14.0 14.1 14.3 14.3 14.3 13.9 14.6

Berechnete Jahresenergieerträge

Referenzluftdichte: 1.225 kg/m³, Abschaltwindgeschwindigkeit: 25 m/s Extrapolation mit konstanter Windgeschwindigkeit ab dem letzten Bin-Intervall

Jahresmittel der Windgeschwindigkeit (Rayleigh-Verteilung)	Gemessener AEP (gemessene Leistungskurve)	Unsicherheit der gemessenen Leistungskurve, dargestellt als Standardabweichung des AEP		Extrapolierter AEP (extrapolierte Leistungs- kurve, 100 % Verfügbarkeit)
[m/s]	[MWh]	[MWh]	[%]	[MWh]
4	1673.1	182.6	10.9	1673.1
6	3158.1 4890.5	258.5 317.2	8.2 6.5	3158.1 4892.1
7	6605.6	349.0	5.3	6624.0
8	8111.7	358.4	4.4	8198.5
10	9296.8 10121.6	353.0 339.0	3.8 3.3	9540.7 10617.1
11 *	10603.9	320.4	3.0	11417.4

Dieser Auszug aus dem Prüfbericht gilt nur in Verbindung mit der Herstellerbescheinigung vom 21.04.2006.

Ausgestellt durch:

DEWI GmbH

Ebertstraße 96

D-26382 Wilhelmshaven

Datum:

11.04.2007

(i.V. Dipl.-Phys. H. Mellinghoff)

Dieser Auszug aus dem Prüfbericht enthält 2 Seiten.

DEWI

M. Bunse

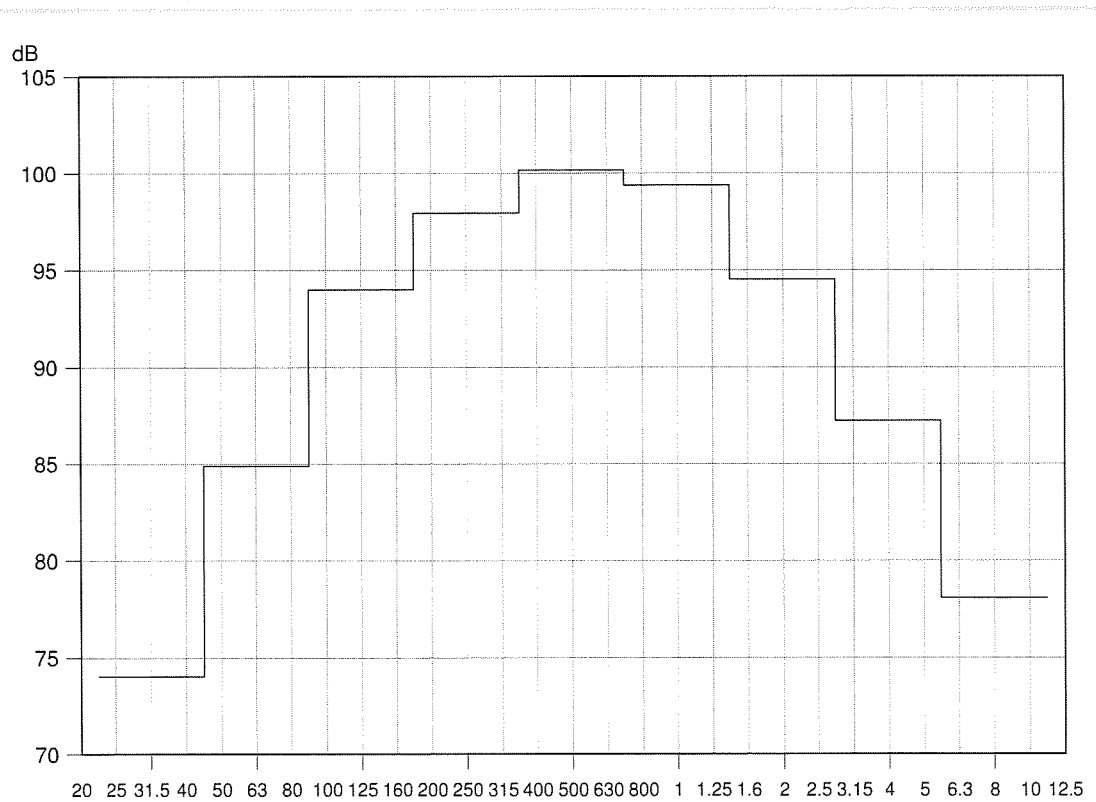
(i.A. Dipl.-Ing. U. Bunse) DEWI 31.5

Hz

63

125

250



Oktavpegel für 8 m/s, Summenpegel = 105,0 dB					
Oktavmittenfrequenz [Hz]	Schallleistungspegel [dB]	Oktavmittenfrequenz [Hz]	Schallleistungspegel [dB]		
31,5	74,03	1000	99,40		
63	84,88	2000	94,53		
125	94,00	4000	87,24		
250	97,95	8000	78,06		
500	100,17				

500

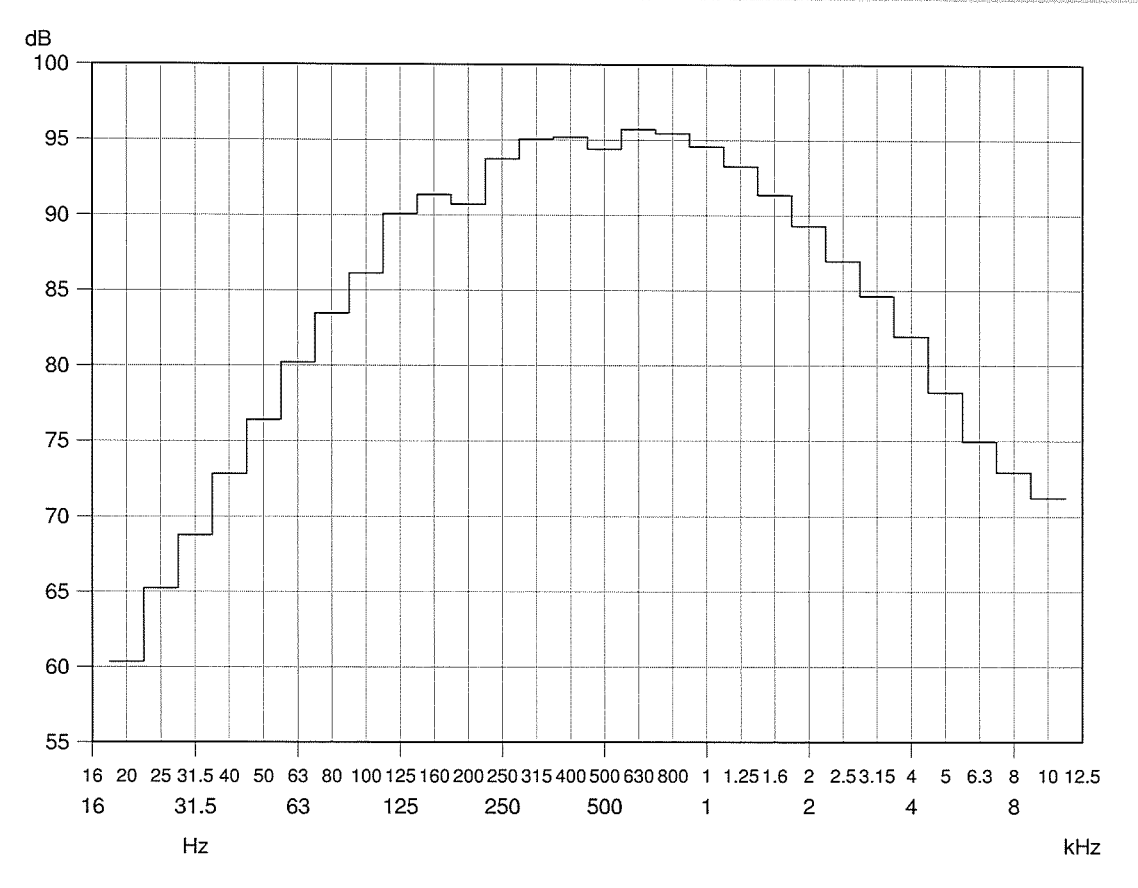
1

2

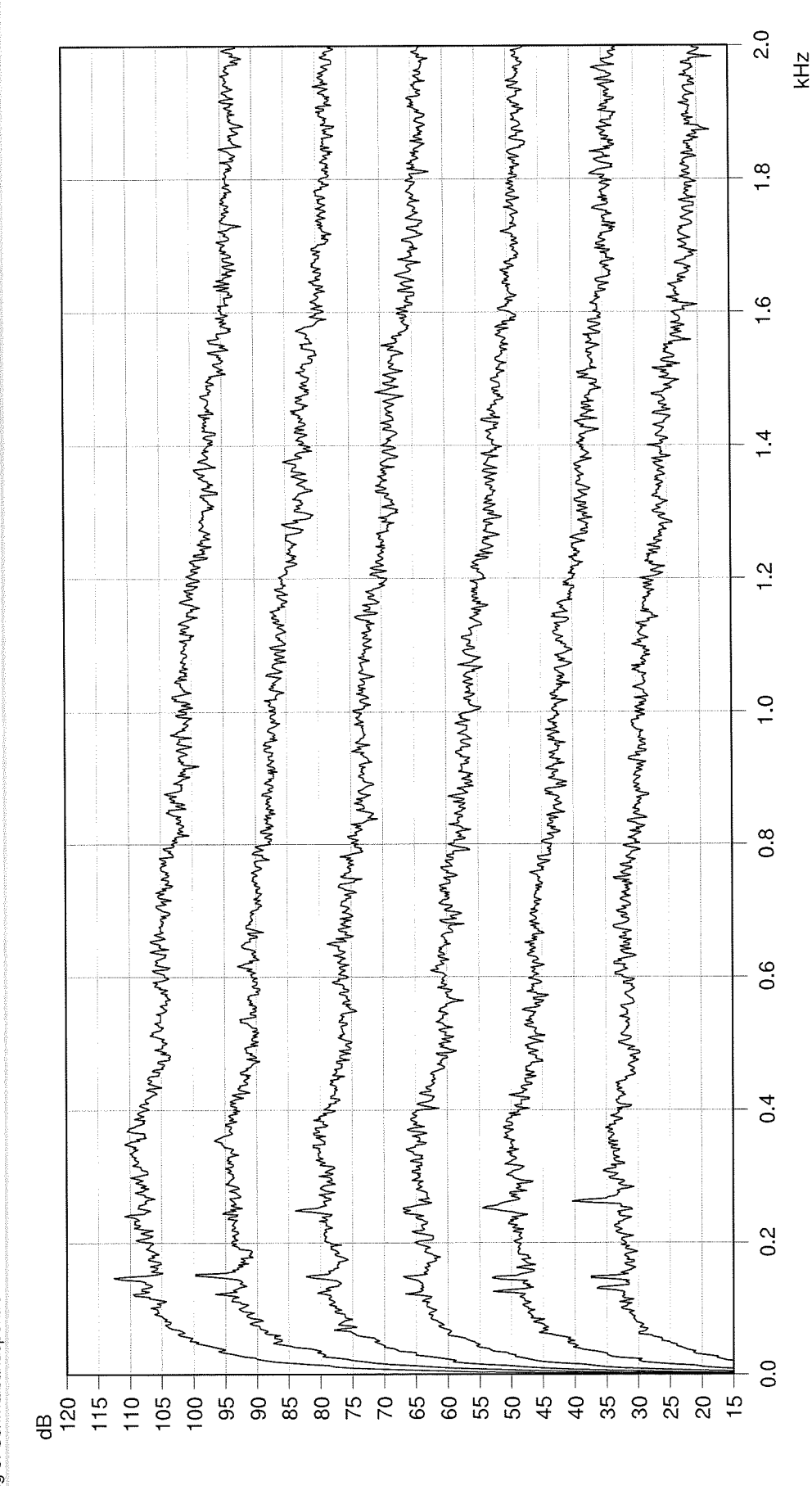
8

kHz

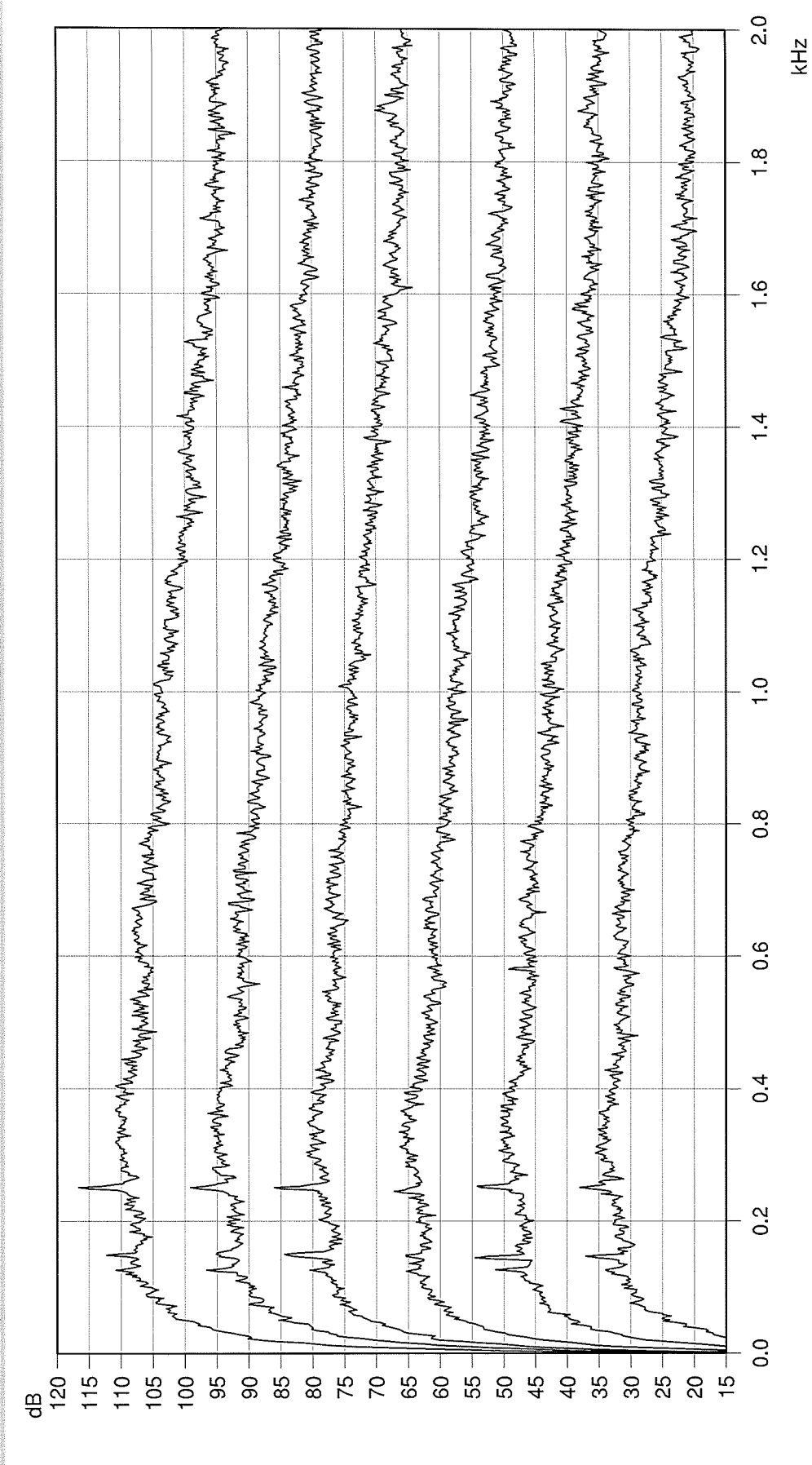




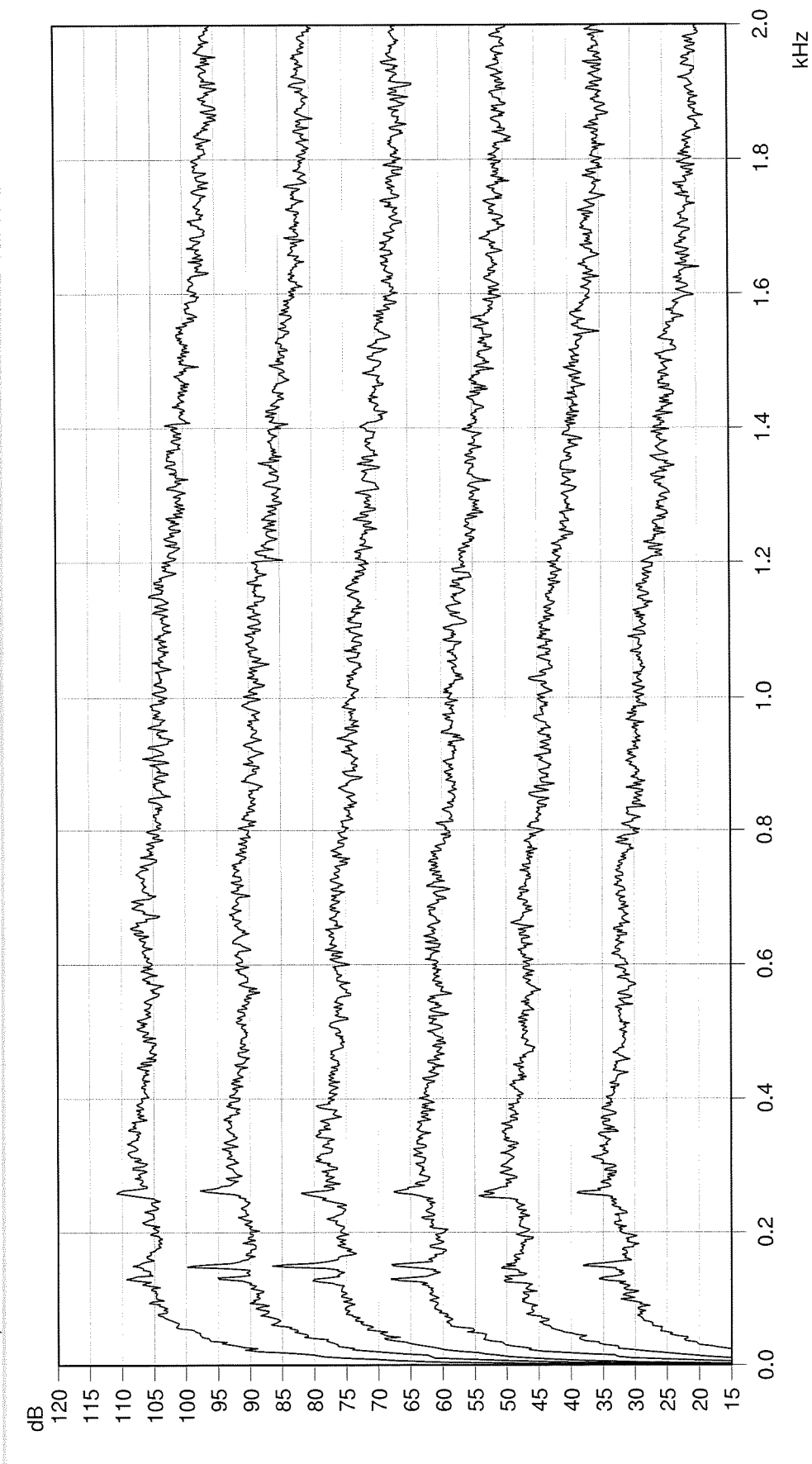
Terzpegel für 8 m/s, Summenpegel = 105,0 dB						
Terzmittenfrequenz [Hz]	Schallleistungspe- gel [dB]	Unsicherheit Uc [dB]	Terzmittenfrequenz [Hz]	Schallleistungspe- gel [dB]	Unsicherheit Uc [dB]	
20	60,35	1,90	500	94,42	1,89	
25	65,24	1,98	630	95,73	1,89	
31,5	68,75	2,09	800	95,46	1,91	
40	72,81	2,30	1000	94,58	1,97	
50	76,40	2,13	1250	93,27	2,01	
63	80,24	2,09	1600	91,38	2,05	
80	83,48	2,17	2000	89,30	1,99	
100	86,13	2,10	2500	86,97	1,91	
125	90,08	1,96	3150	84,65	1,93	
160	91,37	2,13	4000	81,95	2,00	
200	90,72	2,10	5000	78,20	2,02	
250	93,77	1,96	6300	74,95	2,42	
315	95,07	2,01	8000	72,90	2,72	
400	95,21	1,94	10000	71,22	2,79	



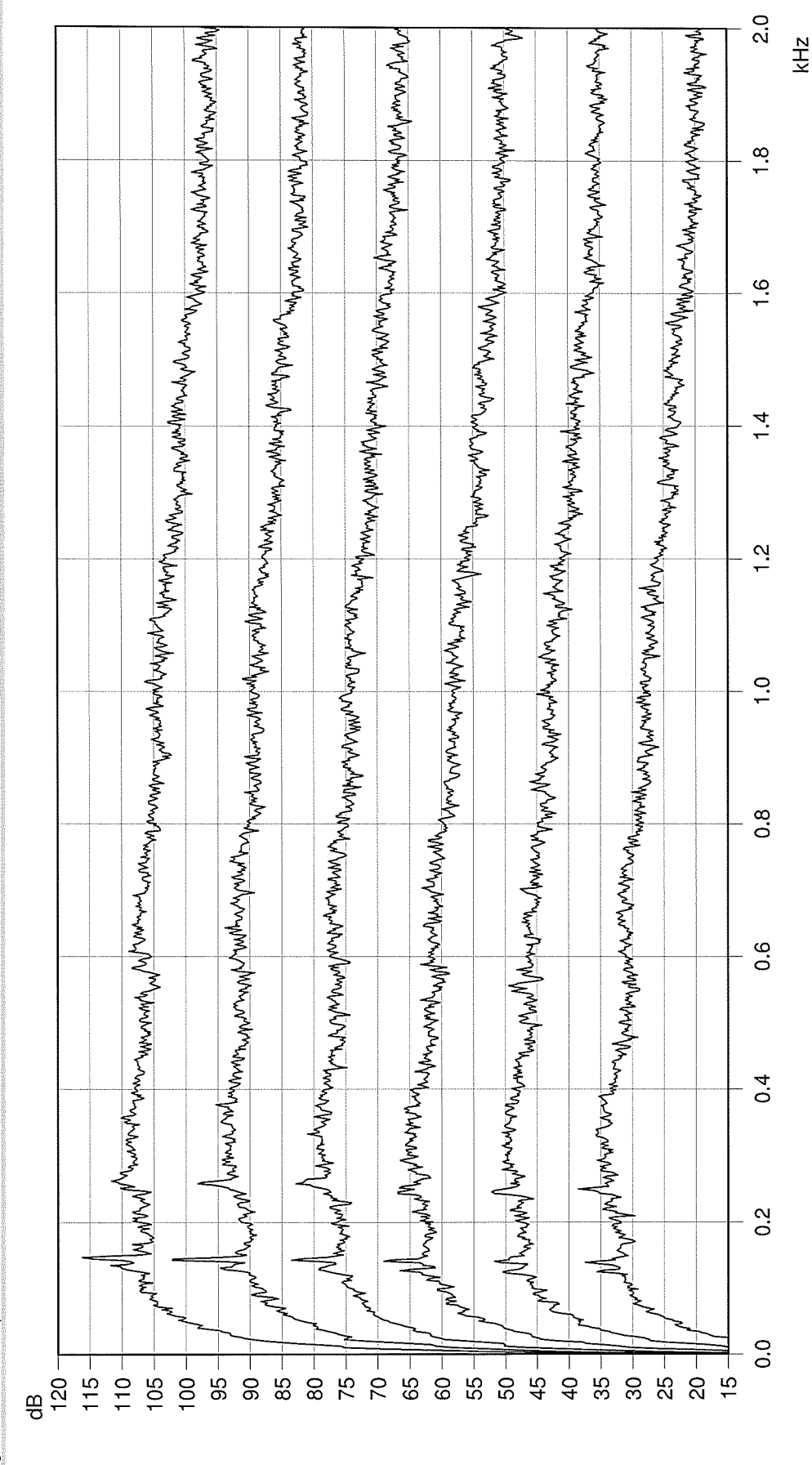
Spektren 1 - 6 aus BIN 7 (obere Spektren jeweils 15 dB nach oben verschoben, Spektrum 1 ganz oben)



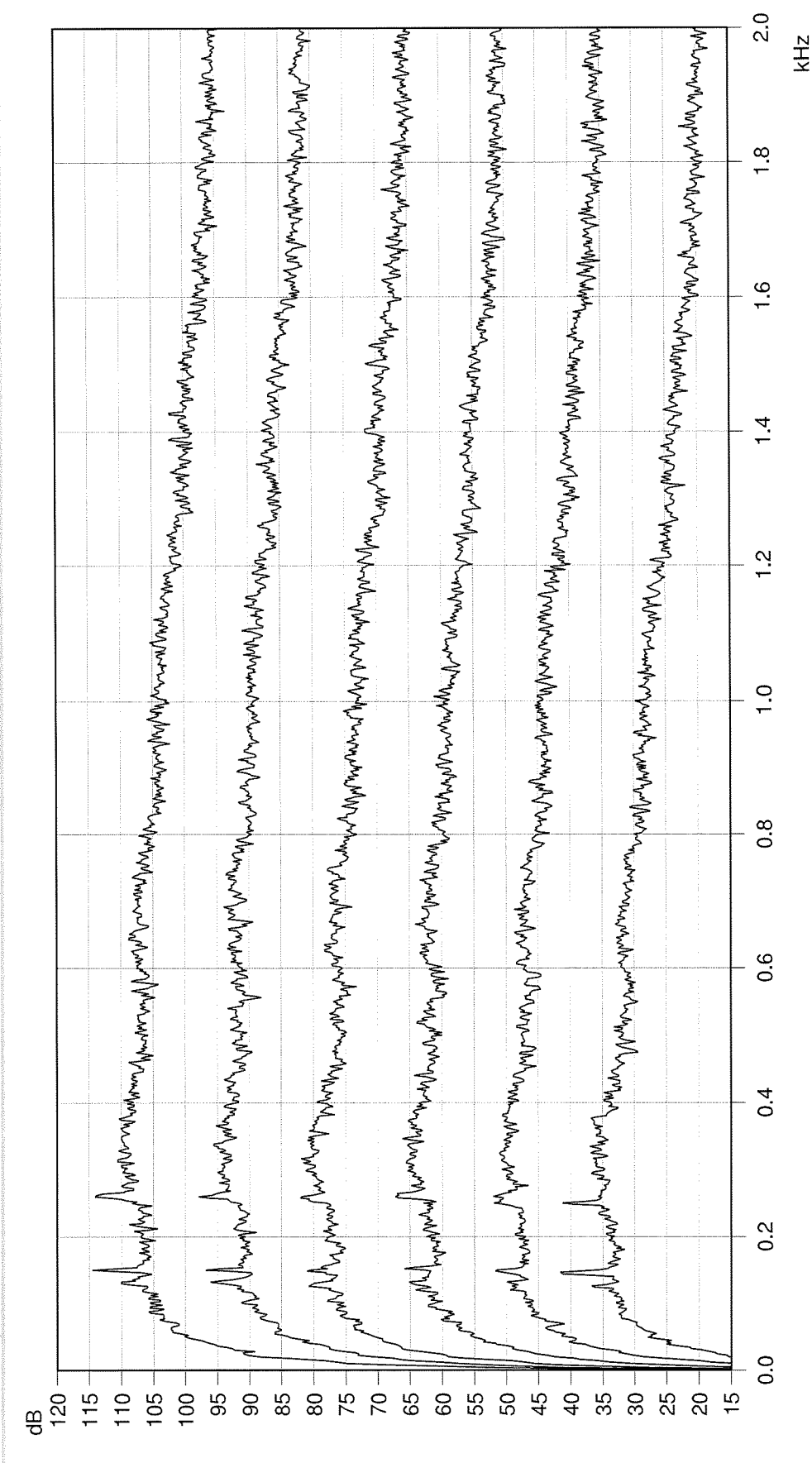
Spektren 7 – 12 aus BIN 7 (obere Spektren jeweils 15 dB nach oben verschoben, Spektrum 7 ganz oben)



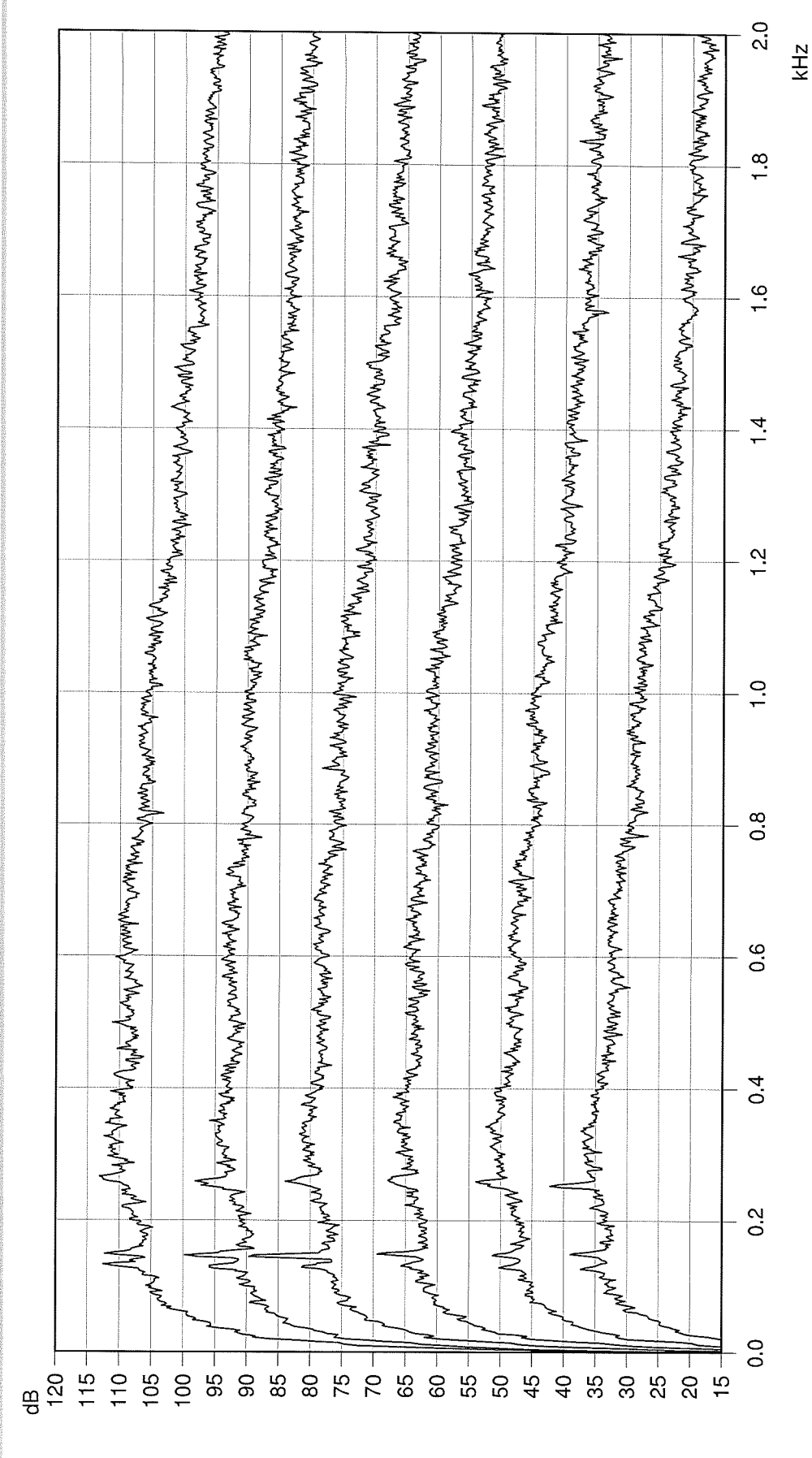
Spektren 1 – 6 aus BIN 8 (obere Spektren jeweils 15 dB nach oben verschoben, Spektrum 1 ganz oben)



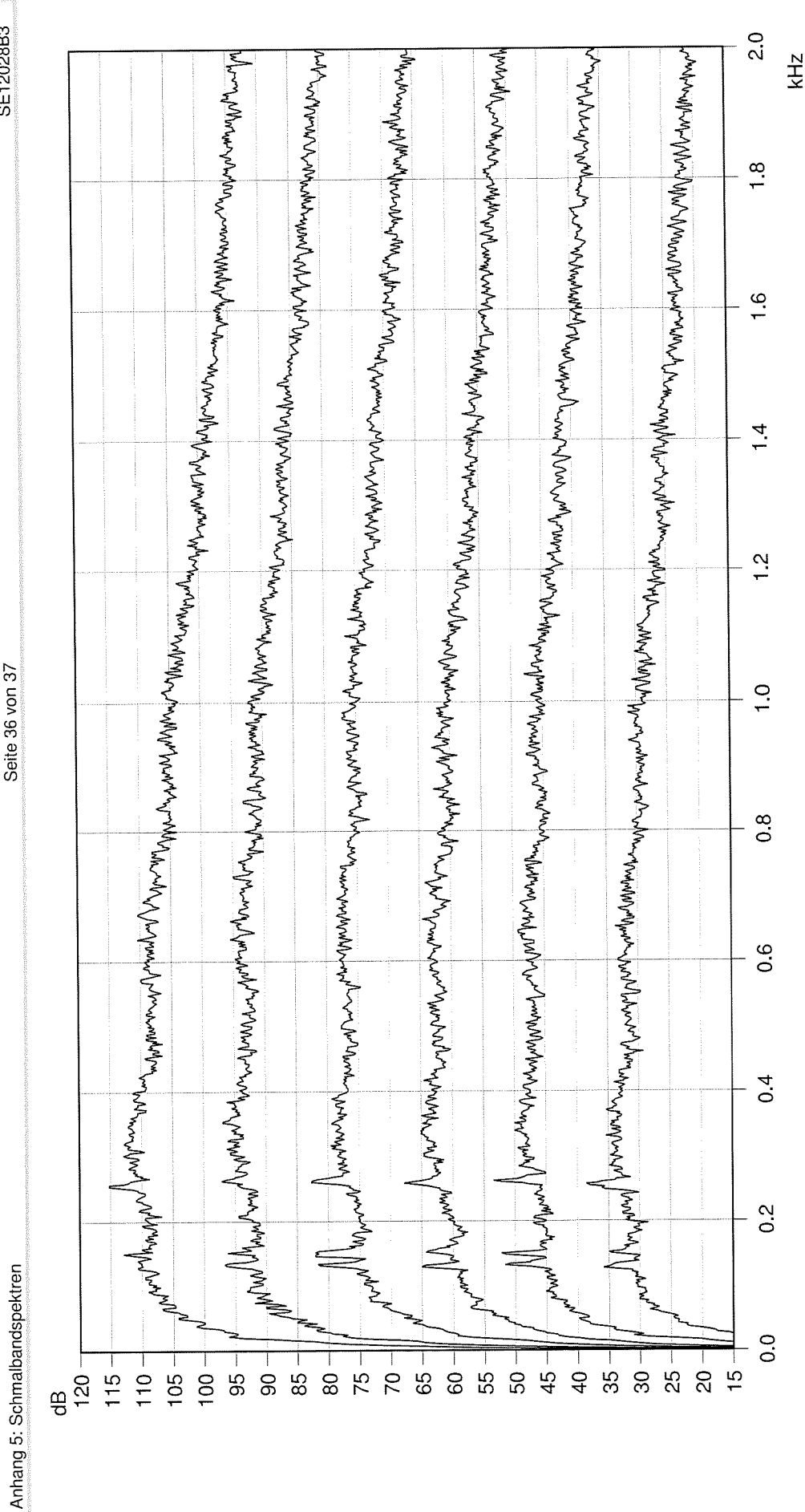
Spektren 7 – 12 aus BIN 8 (obere Spektren jeweils 15 dB nach oben verschoben, Spektrum 7 ganz oben)



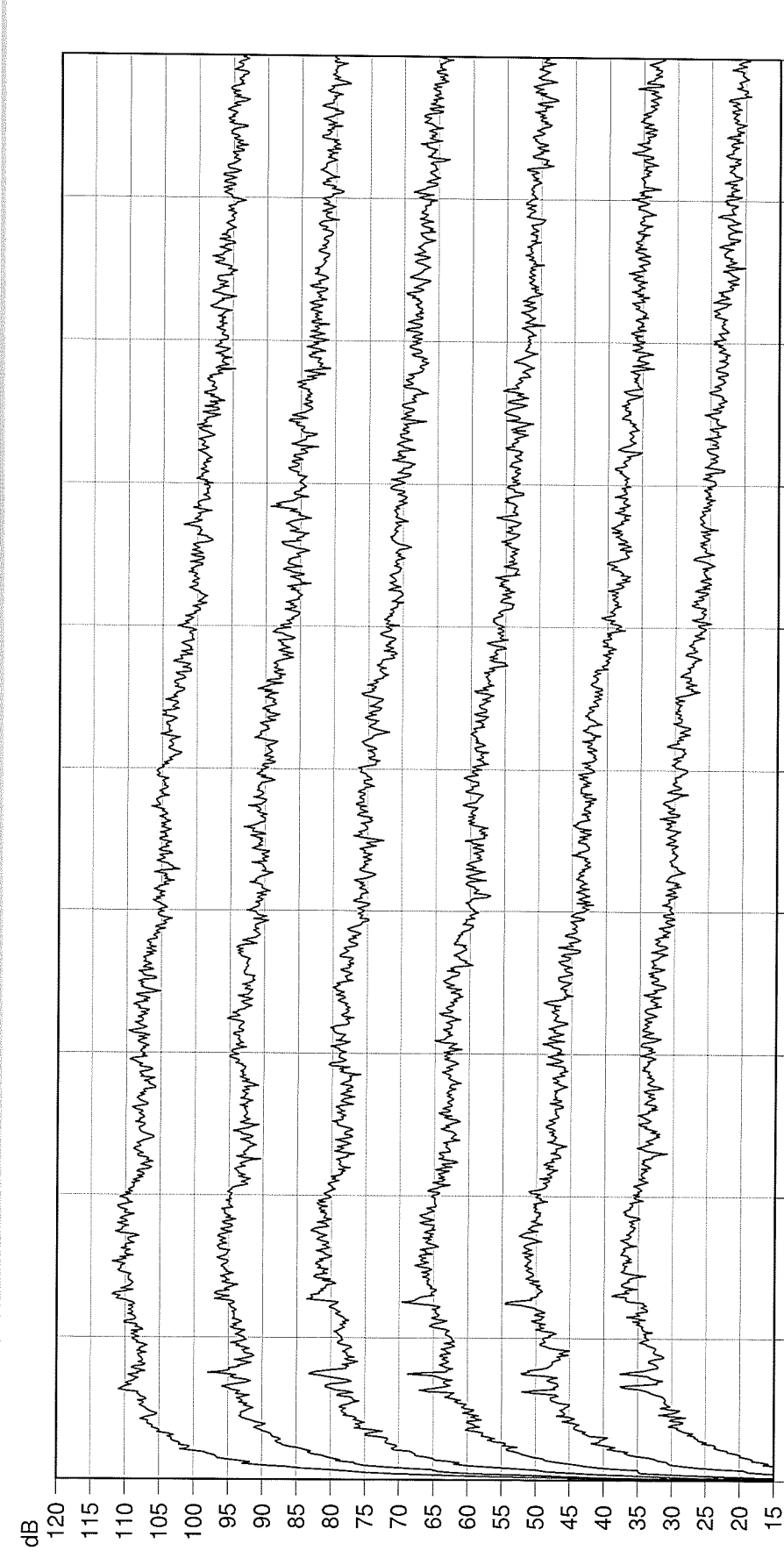
Spektren 1 – 6 aus BIN 9 (obere Spektren jeweils 15 dB nach oben verschoben, Spektrum 1 ganz oben)



Spektren 7 – 12 aus BIN 9 (obere Spektren jeweils 15 dB nach oben verschoben, Spektrum 7 ganz oben)



Spektren 1 – 6 aus BIN 10 (obere Spektren jeweils 15 dB nach oben verschoben, Spektrum 1 ganz oben)



Spektren 7 – 12 aus BIN 10 (obere Spektren jeweils 15 dB nach oben verschoben, Spektrum 7 ganz oben)

2.0

<del>1</del>.

9.

4.

1.2

1.0

0.8

9.0

4.0

0.2

0.0

ХHZ